

分置

PNC PJ1609 91-002

本資料は 年 月 日付けて登録区分、社内資料
変更する。

01.10.-4 [技術情報室]

放射性廃棄物の環境中での物理・化学形態変化に与える
因子に関する研究

(動力炉核燃料開発事業団 委託研究成果報告書)

1991年 3月

埼玉大学工学部環境化学工学科

本資料の全部または一部を複写・複製・転載する場合は、下記にお問い合わせください。

〒319-1184 茨城県那珂郡東海村大字村松4番地49
核燃料サイクル開発機構
技術展開部 技術協力課

Inquiries about copyright and reproduction should be addressed to:
Technical Cooperation Section,
Technology Management Division,
Japan Nuclear Cycle Development Institute
4-49 Muramatsu, Tokai-mura, Naka-gun, Ibaraki, 319-1184
Japan

© 核燃料サイクル開発機構 (Japan Nuclear Cycle Development Institute)

1. 緒論

再処理施設から放出される放射性廃棄物の環境影響評価は、これまでソースターム、放射性物質の環境中での移行等を考慮したモデルによる評価がなされてきた。今後、より現実的な評価を行う観点から、施設から放射性廃棄物の物理・化学形態、また、環境中でのこれら物理・化学形態の変化が、その環境影響評価に与える影響について調査することが必要と考えられる。

使用済燃料の再処理において発生する放射性気体には、³H、¹⁴C、⁸⁵Kr、¹²⁹I、¹³¹Iなどの気体状放射性物質が含まれるが、被爆線量当量は¹²⁹Iが最も大きく、ヨウ素の施設内および環境中での挙動が極めて重要と言える。ヨウ素は軽水炉燃料中ではペレット中にヨウ化物（主にCsI）として均一に分散されていると考えられている。燃料の溶解工程では酸化ウランの硝酸による溶解の際に生成される亜硝酸によって酸化され、I₂としてオフガス中に大部分が放出されるが、一部は溶解液中に残存する。残存ヨウ素は共除染工程以後の工程にとり込まれ、有機ヨウ素の形態で槽類オフガス中へ移行すると考えられている。また、高レベル廃液には²⁴²Cm、²⁴⁴Cmが含まれていることから、これらの核種は自発核分裂によって¹³¹Iを発生する。従って、ヨウ素の除去のみならず、放出時のヨウ素の物理・化学形態を知る上でもヨウ素の再処理プロセス内の挙動を的確につかまえておくことが必要である。

本調査研究では再処理施設の工程内を主対象としたヨウ素の挙動について、最近の文献を中心に調査し、その概要をまとめた。また、最近開発された疎水性ヨウ素吸着剤の特徴およびその利用についての考え方をまとめ、ヨウ素の再処理工程内および環境中の物理・化学形態を検討することにする。

2. 21st DOE/NRC Nuclear Air Cleaning Conference (1990) におけるヨウ素関連報告の概要

1990年8月13日～16日に開催された第21回DOE/NRC Nuclear Air Cleaning Conferenceのプログラムならびに、そこで発表されたヨウ素関連の報告の概要およびまとめを以下に示す。

Program

21st DOE/NRC

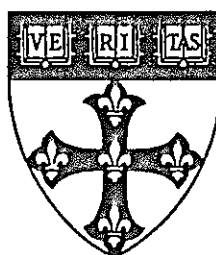
Program Committee:

W. L. Anderson
R. R. Bellamy
W. Bergman
A. G. Evans
H. Gilbert
C. R. Jones
R. T. Jubin
J. L. Kovach
W. H. Miller, Jr.
D. W. Moeller
D. F. Ross
R. L. Shepard
D. F. Torgerson
A. A. Weadock
R. R. Weidler
M. W. First, *Chairman*

NUCLEAR

AIR CLEANING

CONFERENCE



sponsored by

US Department of Energy,
US Nuclear Regulatory Commission,
International Society of Nuclear
Air Treatment Technologies

and

Harvard Air Cleaning Laboratory

August 13-16, 1990

Hyatt Islandia Hotel
San Diego, California

TECHNICAL PROGRAM OF THE 21ST DOE/NRC NUCLEAR AIR CLEANING CONFERENCE

Monday, August 13, 1990

Plenary Session
0830 to 1200
Regency Ballroom

OPENING OF THE CONFERENCE

CO-CHAIRMEN: D. W. Moeller, Harvard School of Public Health
M. W. First, Harvard Air Cleaning Laboratory

- 0800- Registration
- 0830 1-1 Welcome and Objectives of the Conference
M. W. First, Conference Chairman
Harvard Air Cleaning Laboratory
- 0900 1-2 DOE Keynote Address
Department of Energy Directions in Environment, Safety and Health
P. N. Brush, Acting Assistant Secretary
Environment, Safety & Health
U.S. Department of Energy
- 0930 1-3 NRC Keynote Address
F. G. Congel, Director
Division Radiation Protection and
Emergency Preparedness
U.S. Nuclear Regulatory Commission
- 1000 REFRESHMENT BREAK
- 1030 1-4 Air Cleaning Technologies for the Management and Disposal of
Radioactive Wastes
D. W. Moeller, Chairman,
Advisory Committee on Nuclear Waste
- 1100 1-5 Canadian Waste Management Program
D. F. Torgerson
Atomic Energy of Canada Ltd.
- 1130 1-6 Radiological Health Effects Models for Nuclear Power Plant Accident
Consequence Analysis -- An Update (1990)
J. S. Evans
Harvard School of Public Health
J. L. Sprung
Sandia National Laboratories

Concurrent Session A
1330-1630
Regency A

FILTER TESTING

CO-CHAIRMEN: W. L. Anderson, Consultant
W. Bergman, Lawrence Livermore National Laboratory

- 1330 2-1 New Injection System for a Short Mixing of Test Aerosols and Gas Tracers Inside Ventilation Ducts
Ph. Cassette, N. DuPoux, J. C. Laborde
Commissariat à l'Energie Atomique, France
- 1350 2-2 Real-Time Detection of a Fluorescent Aerosol. Application to the Efficiency Measurements of HEPA Filters
Ph. Mulcey, P. Pybot, J. Vendel
Commissariat à l'Energie Atomique, France
- 1410 2-3 Aerosol Concentrations Produced by Laskin Nozzle Generators Using Substitute Materials for DOP
D. W. Crosby
ATI - Hamilton Associates
- 1430 2-4 Characteristics of Laskin Nozzle Generated Aerosols
Xiaowei Yan, M. W. First, S. N. Rudnick
Harvard Air Cleaning Laboratory
- 1450 2-5 Safe Replacement Materials for DOP in "Hot Smoke" Aerosol Penetrometer Machines
H. R. Carlon, M. A. Guelta
U.S. Army CRDEC
- 1510 REFRESHMENT BREAK
- 1530 2-6 Development of Filter Systems - Part 2, Injection Systems and Multi-Point Sampler Evaluation
D. Loughborough
Harwell Laboratory, United Kingdom
- 1550 2-9 The Dust Holding Capacity of HEPA Filters
D. Loughborough
Harwell Laboratory, United Kingdom
- 1610 2-10 Laser Spectrometry Technique for the Determination of Aerosol Characteristics: Simulation of the Performances of a New Real-Time System for Determining the Angular Distribution of the Scattered Light
E. Neri
ENEA-CASACCIA, Italy

Concurrent Session B
1330-1530
Regency C

PANEL SESSION: CODE ON NUCLEAR AIR AND GAS TREATMENT
ASME/ANSI AG-1

CHAIRMAN: W. H. Miller, Jr., Sargent & Lundy

PANEL MEMBERS:

S. Banton, *Pacific Gas and Electric Company*
T. Vogan, *Sargent & Lundy*
S. Hobart, *Adams & Hobart*

OPEN SESSION
ON
EUROPEAN COMMUNITY NUCLEAR CODES AND STANDARDS
1630
Regency A

CO-CHAIRMEN: W. H. Miller, Jr. Sargent & Lundy
J. L. Kovach, Nuclear Consulting Services

The creation of a single European market in 1992 will challenge the international competitiveness of the US Nuclear Air Cleaning Industry and the US Codes and Standards Community. The European Community (EC) is already hard at work harmonizing its standards and certifications for products and services with little participation from the US.

It is anticipated that there will be a number of international attendees at this Conference who will be willing to share their perspective on the impact of the EC Programs. An official representative of the EC will be invited to address the Conference during this open discussion session.

INVITED SPEAKER: M. R. Green
ASME

Monday Evening, August 13, 1990
1800 to 1930
Islands Room

RECEPTION FOR ATTENDEES AND FAMILY MEMBERS

Tuesday, August 14, 1990

Concurrent Session A

0900-1130

Regency A

CHEMICAL PROCESSING OFFGAS CLEANING

CO-CHAIRMEN: R. T. Jubin, Oak Ridge National Laboratory
A. C. Vikis, Atomic Energy of Canada Ltd., Canada

- 0900 4-1 Measurements of Iodine 129 and Entrainment of Organic Iodine 129 with the Off Gas Flows of the Karlsruhe Reprocessing Plant WAK

F. J. Herrmann, V. Motoi, B. Herrmann,
H. Fies, D. Fang
*Wiederaufarbeitungsanlage Karlsruhe,
West Germany*

- 4-2 Iodine Retention During Evaporation of MLW-Waste Solutions at the KFK Central Decontamination Department

J. Amend
Kernforschungszentrum Karlsruhe
V. Motoi, F. J. Herrmann
Wiederaufarbeitungsanlage Karlsruhe
J. Furrer
*Kernforschungszentrum Karlsruhe,
West Germany*

- 0940 4-3 Technical-Scale Iodine Expulsion from the Dissolver Solution and Balance Striking for Liquid and Gaseous Iodine Fractions

J. Furrer, H. Deuber, A. Linek,
R. Kaempffer, K. Jannakos
*Kernforschungszentrum Karlsruhe,
West Germany*

- 1000 4-4 Elimination of Iodine from Radioactive Gaseous Effluents in a Packed Column

M. B. Vignau, J. P. Goumondy
Commissariat à l'Energie Atomique
M. Roustan
LCGE, France

- 1020 REFRESHMENT BREAK

- 1050 4-5 Iodine Partitioning in a Dissolver Off-Gas System, and Evaluation of Iodine Removal by Scrubbing with Hyperazeotropic HNO₃

J. F. Birdwell, R. T. Jubin, B. E. Lewis
Oak Ridge National Laboratory

- 1110 4-6 Development of a Process for Adsorptive Separation of Kr-85 from the Off-Gas of Nuclear Facilities

H. D. Ringel
Forschungszentrum Julich
T. Burbach
Siemens AG
R. J. Printz
Wissenschaftlich-Technische

Tuesday, August 14, 1990

Concurrent Session B
0900-1130
Islands Room

**PANEL SESSION: HOW TO USE N510 TESTING METHODS AND
ACCEPTANCE CRITERIA FOR AIR TREATMENT SYSTEMS
NOT CONSTRUCTED ACCORDING TO N509**

CHAIRMAN: R. R. Weidler, Duke Power Company

PANEL MEMBERS:

J. W. Jacox, *Jacox Associates*
J. R. Edwards, *Charcoal Service Corporation*
R. D. Porco, *Consultant*
P. W. Roberson, *McGuire Nuclear Station*

Plenary Session

WORKING LUNCHEON
1200-1400
Regency B-C

CHAIRMAN: D. W. Moeller, Chairman, Advisory Committee on Nuclear Waste

INVITED SPEAKER:

FORREST J. REMICK, COMMISSIONER

**U. S. Nuclear Regulatory Commission
Washington, DC**

TOPIC: CHANGING WINDS IN NRC'S REGULATORY ENVIRONMENT

Plenary Session
1400-1600
Islands Room

OPEN END

CHAIRMAN: M. W. First, Harvard Air Cleaning Laboratory

- 7-1 Quality Assurance Requirements for NESHAPS Compliance

J. F. Bresson
Dames & Moore

- 7-2 Progress Report on the In-Place Acceptance Tests of Walk-in Plenum Filter Housings with Close Couple Redundant Series Filters

J. R. Edwards, A. E. Dunbar
Charcoal Service Corporation

- 7-3 Investigation of Salt Loaded HEPA Filters

P. R. Smith, E. C. Hensel, I. H. Leslie
New Mexico State University
T. M. Schultheis
Sandia National Laboratories
J. R. Walls
Westinghouse Electric Corporation

- 7-4 Photochemical Removal of Radioactive Iodines from Air

A. C. Vikis
Atomic Energy of Canada Ltd.

REFRESHMENT BREAK

- 7-5 Department of Energy HEPA Filter Qualification Testing - Review of Department of Energy Filter Test Facility and Filter Test Facility Technical Support Group Activities (FY 1986 - FY 1989)

J. A. McIntyre
Los Alamos National Laboratory

- 7-6 A Systematic Study of the Effectiveness of Mono Alkyl Iodides of Cyclic Diamines as an Impregnant of an Activated Carbon of the Nuclear Grade

Y. S. Kim
*Korea Atomic Energy Research Institute,
Korea*

- 7-7 Type II HEPA Filter

J. L. Kovach
NUCON International, Inc.

- 7-8 Confirmation of Automatic Flow Control for a Gaseous Effluent Sampling System

S. A. Epperson
Savannah River Site

1600 ISLANDS ROOM

Wednesday, August 15, 1990

Concurrent Session A-1
0900-1030
Regency A

INCINERATION AND VITRIFICATION

CO-CHAIRMEN: R. L. Shepard, U. S. Nuclear Regulatory Commission
J. R. Yow, Corporate Consulting & Development Company

- 0900 8-2 LFCM Processing Characteristics of Hg
R. W. Goles, G. J. Sevigny
Battelle Pacific Northwest Laboratory
- 0920 8-4 Behavior and Control of Ruthenium During Operation of the New Waste Calcining Facility at the Idaho Chemical Processing Plant
J. D. Christian
Westinghouse Idaho Nuclear Company
- 0940 8-5 The Incineration of Low Level Radioactive Wastes - Current Status
D. W. Moeller, S. W. Long
Advisory Committee on Nuclear Waste
- 1000 8-6 Steps Towards the Minimization of Particulate Emissions from a Low-Level Waste Incineration Facility
H. Leibold, R. Mai, J. G. Wilhelm
*Kernforschungszentrum Karlsruhe,
West Germany*

1030 REFRESHMENT BREAK

Concurrent Session A-2
1100-1200
Regency A

SYSTEM DESIGN

- 1100 15-2 Design Basis Documentation for the Control Room Ventilation/Chilled Water System at McGuire Nuclear Station
J. R. Hilley, Jr., R. R. Weidler
Duke Power Company
- 1120 15-3 Demonstration of Carbon-14 Removal at Candu Nuclear Generating Stations
S. D. Chang, C. H. Chech, P. J. Leinonen
Ontario Hydro, Canada

Concurrent Session B-1
0900-1030
Regency C

ADSORBENTS

CO-CHAIRMEN: A. G. Evans, Savannah River Plant
Li Qi-dong, Fudan University, People's Republic of China

- 0900 9-1 New Type Adsorbent Material of Impregnated Activated Carbon Fibers for Iodine Filter
Li Qi-dong, Ye Changzhou,
Yuan Shunqing, Pang Yafang, Ling Junyue
Fudan University
Gu Xiaochun, Yang Miaoicing,
Zhu Huijian, Liu Zexiang
Shanghai Textile Research Institute
Ma Ruqian, Qian Ying, Fu Haozhong
Shanghai Nuclear Engineering Research & Design Institute, People's Republic of China
- 0920 9-2 A Study of the Effect of Coating Operations on Radioiodine Removing Adsorbents
W. P. Freeman, J. C. Enneking
Nuclear Consulting Services
- 0940 9-3 Factors Affecting the Retention of Methyl Iodide by Iodide-Impregnated Carbon
M. L. Hyder, R. A. Malstrom
Westinghouse Savannah River
- 1000 9-4 Removal Characteristics of Some Organic Iodine Forms by Silver Impregnated Adsorbents
Y. Kobayashi
Japan Nuclear Fuel Service Co., Ltd.
Y. Kondo, Y. Hirose
Hitachi Works
T. Fukasawa
Energy Research Laboratory, Japan
- 1030 REFRESHMENT BREAK

Wednesday, August 15, 1990

Concurrent Session B-2

1100-1200

Regency C

NUCLEAR CODES & STANDARDS

CO-CHAIRMEN: A. A. Wedock, U. S. Department of Energy
TBA

1100 10-1 Changes in Adsorber Testing as a Result of NRC Guidance

J. J. Hayes, Jr.

U.S. Nuclear Regulatory Commission

1120 10-2 US NRC Regulatory Guidance for Engineered Safety Feature Air Cleaning Systems

R. R. Bellamy, C. A. Willis

U.S. Nuclear Regulatory Commission

1140 10-3 IAEA Decadal Activities in the Field of Radioactive Gaseous Waste Management

G. R. Plumb

International Atomic Energy Agency, Austria

Concurrent Session A

1330-1630

Regency A

MODELING

CO-CHAIRMEN: R. R. Bellamy, U. S. Nuclear Regulatory Commission
J. Pearson, NCS, Inc.

1330 11-1 Generalized Modeling of Filtered Containment Venting Systems

R. Prior

Westinghouse Energy Systems International, Belgium

B. J. Schlenger-Faber, F. J. Demora,
M. G. Plys

Fauske and Associates Inc., U.S.A.

1350 11-2 CAIRE A Real-Time Feedback System for Emergency Response

H. Braun

Federal Ministry for the Environment

H. de Witt, H. D. Brenk

Brenk Systems Planning, West Germany

- 1410 11-3 Kinetic Modeling of the Purging of Activated Carbon after Short Term Methyl Iodide Loading
V. Friedrich
Institute of Isotopes of the Hungarian Academy of Sciences
I. Lux
Central Research Institute for Physics of the Hungarian Academy of Sciences, Hungary
- 1430 11-4 Mathematical Models for Changes in HEPA Filter Pressure Drop Caused by High Air Humidity
C. I. Ricketts, M. Schneider, J. G. Wilhelm
Kernforschungszentrum Karlsruhe, West Germany
- 1500 11-5 Optimization of Air Ducts for Nuclear Reactor Power Generation Station
K. Hirao
Tokyo Electric Power Company
H. Yoshino
Toshiba Corporation
T. Sonoda
Hitachi Works, Japan
- 1510 REFRESHMENT BREAK
- 1540 11-6 Mathematical Model and Simulation for Cleanroom
Zhang YingZhong
Shanghai Light Industrial Engineering Design Institute
Chen ShenJun
Shanghai College of Architectural and Municipal Engineering
People's Republic of China
- 1600 11-7 Alternatives to Current Procedures Used to Estimate Concentrations in Building Wakes
J. V. Ramsdell, Jr.
Battelle Pacific Northwest Laboratories

Wednesday, August 15, 1990

Concurrent Session B-1
1330-1510
Regency C

FILTERS

CO-CHAIRMEN: H. Gilbert, Consultant
R. Dorman, Consultant

- 1330 12-1 High Efficiency Steel Filters for Nuclear Air Cleaning
W. Bergman, R. Cappabianca, J. Garr,
G. Larsen
Lawrence Livermore National Laboratory 
- 1350 12-2 A Permanently Magnetized High Gradient Magnetic Filter for Glove-Box Cleaning and Increasing HEPA Filter Life
J. H. P. Watson, C. Boorman
University of Southampton, England
- 1410 12-3 Behavior of the Polygonal HEPA Filter Exposed to Water Droplets Carried by the Offgas Flow
K. Jannakos, G. Potgeter, W. Legner
Kernforschungszentrum Karlsruhe, West Germany
- 1430 12-4 Efficiency and Mass Loading Characteristics of a Typical HEPA Filter Media Material
V. J. Novick, P. J. Higgins,
B. Dierkschiede, C. Abrahamson,
W. B. Richardson
Argonne National Laboratory
P. R. Monson, P. G. Ellison
Westinghouse Savannah River Company
- 1450 12-5 Aerosol Penetration Inside HEPA Filtration Media
P. Letourneau, Ph. Mulcey, J. Vendel
Commissariat à l'Energie Atomique, France 
- 1510 REFRESHMENT BREAK

Concurrent Session B-2
1540-1720
Regency C

SAFETY

CO-CHAIRMEN: H. P. Wichmann, Wiederaufarbeitungsanlage Karlsruhe,
West Germany
J. P. Mercier, Institut de Protection et de Surete
Nucleaire, France

- 1540 13-1 Impacts of the Filter Clogging on the Behaviour of a Ventilation Network
in the Event of a Fire



J. C. Laborde, M. C. Lopez, M. Pourprix,
J. Savornin, J. Teissier
Commissariat à l'Energie Atomique, France

- 1600 13-2 Behavior of Ruthenium in the Case of Shutdown of the Cooling System of
the HLLW Storage Tanks

M. Philippe
Commissariat à l'Energie Atomique
J. P. Mercier
Institut de Protection et Sûreté Nucléaire
J. P. Gué
Commissariat à l'Energie Atomique, France

- 1620 13-3 Pool Fire Effect on a Large Scale Ventilation System

P. R. Smith, I. H. Leslie
New Mexico State University
W. S. Gregory, B. White
Los Alamos National Laboratory

- 1640 13-4 Continuous Air Monitor for Alpha-Emitting Aerosol Particles

A. R. McFarland
Texas A&M University
J. C. Rodgers
Los Alamos National Laboratory
C. A. Ortiz
Texas A&M University
D. Nelson
Los Alamos National Laboratory

- 1700 13-5 Measurement System for Alpha & Beta Aerosols with Wide Dynamic
Range & Krypton 85 Masking

H. P. Wichmann, H. Tiggemann,
H.-J. Kreiner,
Wiederaufarbeitungsanlage Karlsruhe,
West Germany

Thursday, August 16, 1990

Plenary Session
0800-1000
Regency Ballroom

CONTAINMENT VENTING

CO-CHAIRMEN: J. L. Kovach, Nuclear Consulting Service
P. Mulcey, Commissariat à l'Energie Atomique, France

- 0800 14-1 Containment Venting-Sliding Pressure Venting Process for PWR and BWR Plants-Process Design and Test Results
B. Eckardt
Siemens AG - UB KWU, West Germany
- 0820 14-2 Investigations into the Design of a Filter System for PWR Containment Venting
H.-G. Dillmann, J. G. Wilhelm
Kernforschungszentrum Karlsruhe, West Germany
- 0840 14-3 Experimental Study on Aerosol Removal Efficiency for Pool Scrubbing Under High Temperature Steam Atmosphere
J. Hakii
Tokyo Electric Power Company
I. Kaneko, Y. Masahiro
Toshiba Corporation
M. Matsumoto
Hitachi Ltd., Japan
- 0900 14-4 Impact of Filtered Venting Design Upon the Total Radioactive Release in Case of a Severe Accident and a Comparison of European Requirements
G. Lövenhielm
Swedish State Power Board
H. Cederqvist, I. Jansson
ABB Atom, Sweden
- 0920 14-5 Absorption of CH₂I in Advanced Venturi Systems (FILTRA/MVSS)
L. Lindau, A. C. Larsson
Fläkt Industrial Processes Inc., Sweden
- 0940 14-6 Design and Full-Scale Test of a Sand Bed Filter
M. Kaercher
Electricité de France
- 1000 REFRESHMENT BREAK

**Plenary Session
1030-1145
Regency Ballroom**

1030 PANEL SESSION: NUCLEAR AIR CLEANING PROGRAMS AROUND THE WORLD

**CO-CHAIRMEN: G. R. Plumb, International Atomic Energy Agency, Austria
V. Friedrich, Institute of Isotopes of the Hungarian
Academy of Sciences**

PANEL MEMBERS FROM:

Belgium
Canada
France
Germany
Hungary
Japan
Sweden
United Kingdom

**Plenary Session
1145-1200
Regency Ballroom**

CONFERENCE SUMMARY AND ADJOURNMENT

**M.W. First
Conference Chairman**

Maintenance of Certification Credit:

The American Board of Industrial Hygiene has approved 3.5 Maintenance Credits for this Conference.

American Board of Health Physics has approved 12 (new credits) Maintenance Credits for this Conference.

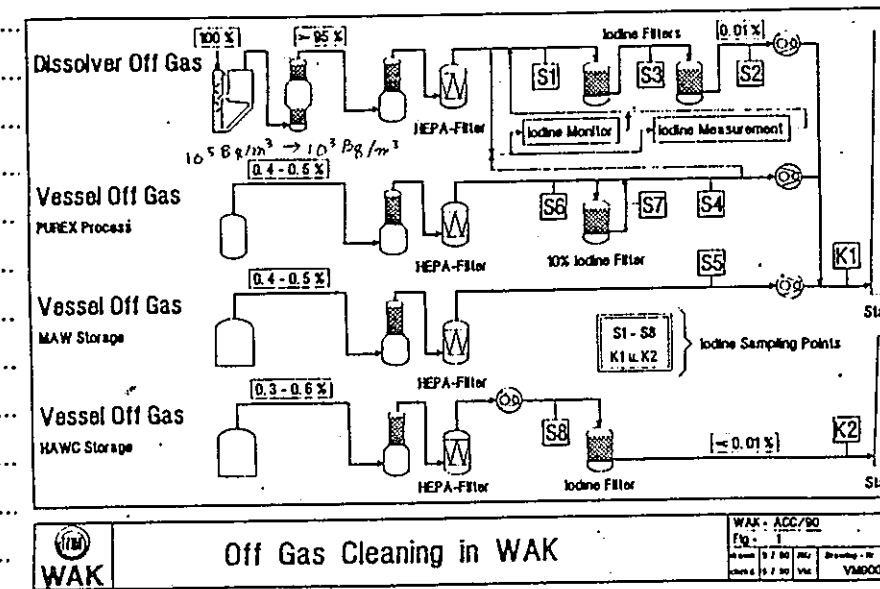
文献まとめ表

4-1

文献名	RETENTION AND MEASUREMENT OF IODINE-129 AND OF ORGANOIODINE IN THE OFFGAS STREAMS OF THE KARLSRUHE REPROCESSING PLANT WAK F. J. Herrmann, V. Motov, B. Herrmann, A. Van Schoor, D. Fang and H. Fies (WAK)
-----	--

目的的	(1) PUREX processにおけるヨウ素挙動の把握 (2) WAKオフガスストリームにおける ¹²⁹ I分布の決定 (3) WAKオフガスから遊離した有機ヨウ素化合物の性状の把握 (4) WAK運転条件下におけるヨウ素除去の熱力学及びヨウ素除去の反応メカニズムの解明
-----	---

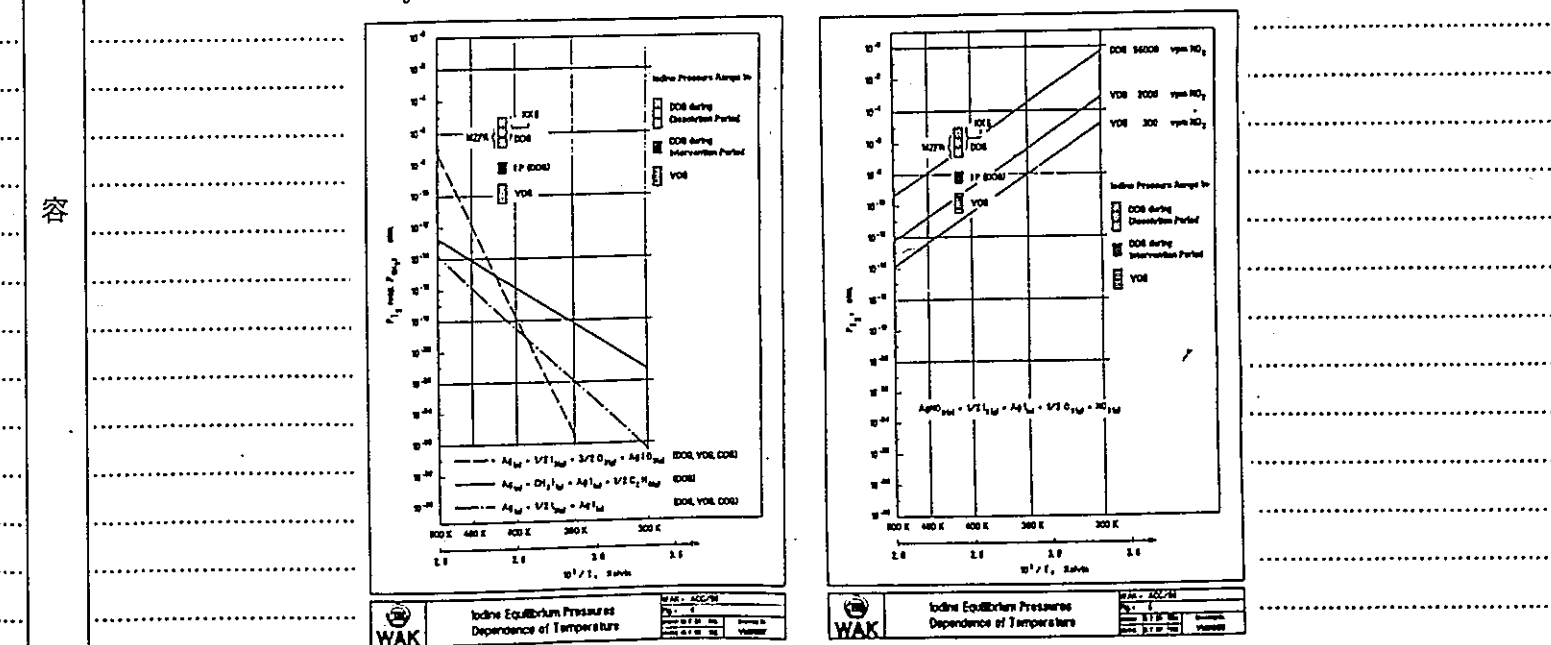
内容	(1) WAKオフガスストリームにおける ¹²⁹ Iの分布 (Fig. 1参照) 95%: 溶解オフガス 3%: 廃液中 1%: ガス: - 0.01% DOG, 0.4~0.5% Purexプロセス中のVOG 0.4~0.5% MLLW貯槽, 0.1% 燃料 解体セルのベンタエア, 0.01% HAWC貯槽からVOG
----	---



容	(2) オフガス中の無機ヨウ素の除去 WAKオフガス中9.15%のヨウ素が無機ヨウ素 (VOG系) (3) 有機ヨウ素化合物の特徴 ① m-dodecyl iodide が有機ヨウ素の中の主成分 ② その他: 炭素数2~11のアルキルヨウ素, フッテルヨウ素, ニトロアルケン, 石膏酸エステル。
---	--

内	(4) WAK運転条件下のヨウ素除去の熱力学 (Fig. 4, Fig. 5参照) ① チタジタル銀において ¹²⁹ I, CH ₃ Iは除去されず, WAKオフガス中のNO _x は影響を与える。 ② AgNO ₃ では熱力学的に ¹²⁹ Iは除去されない。300 vpmのNO _x を含む系では ¹²⁹ Iは除去不可能である。 ③ CH ₃ I, Tiタル銀, AgNO ₃ で ¹²⁹ I除去可能。
---	--

容	(5) WAK運転条件下におけるヨウ素除去反応 ① 無機ヨウ素 $AgNO_3(s) \rightleftharpoons Ag(s) + NO_3(g) + 1/2 O_2(g)$ (Dodecaneによる還元) $Ag(s) + 1/2 I_2(g) \rightleftharpoons AgI(s)$ $Ag(s) + 1/2 I_2(g) + 3/2 O_2(g) \rightleftharpoons AgIO_3(s)$ $AgIO_3(s) \rightleftharpoons AgI(s) + 3/2 O_2(g)$ ② 有機ヨウ素 $AgNO_3(s) + CH_3I(g) \rightleftharpoons AgI(s) + CH_3NO_2(g)$ $Ag(s) + CH_3I(g) \rightleftharpoons AgI(s) + 1/2 C_2H_6(g)$
---	--



ま と め	(1) オフガス中のヨウ素除去のためにヨウ素フィルタを全オフガス系統に備える(参考)。 (2) WAK VOG系では85%が有機ヨウ素化合物である。 (3) Ag, Bi, AgNO ₃ を吸着材にすれば有機ヨウ素化合物の除去に問題を生じない。
-------------	---

文献まとめ表

4-2

文献名

Iodine-129 Distribution and Retention during Evaporation of MLW Solutions

J. Amend*, V. Motoi**, F.J. Herrmann and J. Furrer*

(* KFK, ** WAK)

WAK再処理工場(カール・リーア研究所)で発生する中低レベル廃液について蒸発処理時のヨウ素-129の分布及びホールドアップ量について詳細に検討し、ヨウ素-129の大気放出量の低減化及びバックカスドリフ再処理工場への適応を目的とした。

1. 概要

(1) WAK再処理工場の中低レベル廃液処理フローをFig. 1に示す。この施設では年間当たり中レベル廃液400 m³、低レベル廃液5000 m³受け入れ、固化体廢棄物1500 m³発生する。(セメント固化)

(2) 中レベル廃液蒸発処理プロセスをFig. 2に示す。キャンペーンは年間15~10回(1キャンペーン当たり4~8日運転)実施し、処理能力は1 m³/hである。蒸発処理された蒸気は蒸発缶内のシートトイを通して後、冷却塔で冷却(60°C)し、凝縮液は有機相を分離後低レベル蒸発缶に送液され、一方オフガスはオフガスクリーニングシステムに送られる。

(3) オフガスクリーニングシステムはスラビング塔、ベンチュリスクラバー、HEPAフィルター及び加熱器を付帯したヨウ素吸着フィルターから構成される。

(4) ヨウ素吸着フィルター(Fig. 3参照)の吸着剤は最初KI含浸活性炭(SS 207B)を使用したが、1988年以降硝酸銀含浸触媒キャリアで行った。吸着フィルターの運転条件: 流量44.0 m³/h(30°C), 線速度76 mm/S, ガス滞留時間0.7S。

2. 結果

(1) 1983~1989年までのヨウ素-129の大気放出量をFig. 4に示す。その結果ヨウ素吸着フィルター設置(1987年)によって大気放出量が低減した。(1987年: 放出抑制量: 0.4 → 0.2 MBq/wt-%)

(2) ヨウ素-129のマスバランスをFig. 5に示す。(1989年中レベル廃液230 m³を用いたキャンペーンで蒸発処理)

(3) KI含浸活性炭ヨウ素吸着フィルターは運転14日後で破損した。この原因はオフガス中の水分及びNO₂、更に低温度(40°C)での運転によるものであった。

(4) 硝酸銀含浸触媒キャリアに交換してヨウ素除去を行った結果、最初のDFは約70となり平均で30~40であった。その年(1989年)のヨウ素の大気放出量はTable 1に示すように0.53 MBqとなり、年間規制量(4 MBq)の13%であった。

(5) ヨウ素-129の大気放出量を更に低減させるには、蒸発処理のキャンペーン期間以外では、オフガスをヨウ素吸着フィルターに通過させることである。

内 容

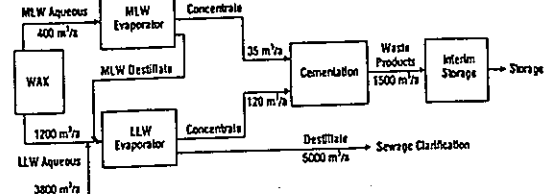


Fig. 1 Treatment of aqueous LLW/MLW at KFK

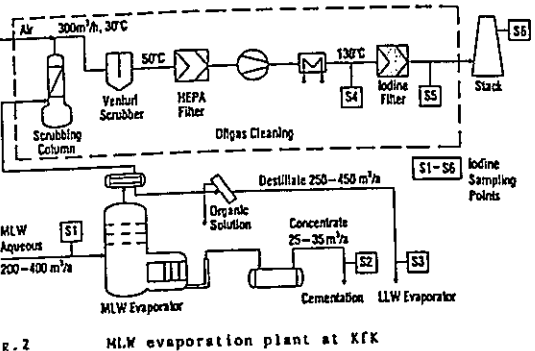


Fig. 2 HLW evaporation plant at KFK

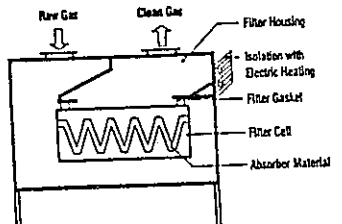


Fig. 3 Iodine filter in the HLW offgas

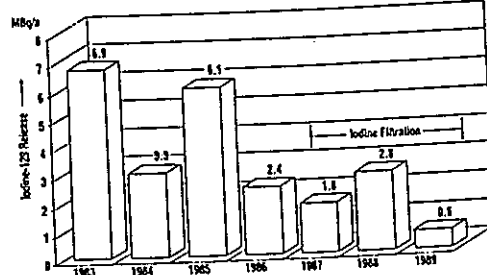


Fig. 4 Annual release of Iodine-129 at the HLW evaporator plant

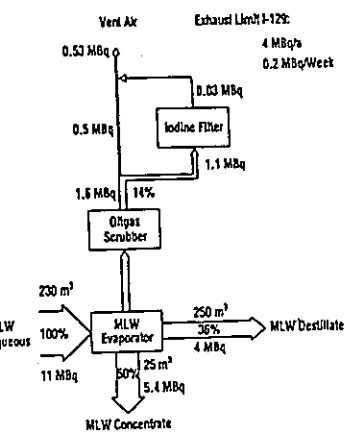


Fig. 5 Iodine-129 flowsheet of the HLW plant in 1989

Table 1 Operating and Outage Periods of the HLW Evaporator, Iodine Entrainment and DFs of the Iodine Filter

No.	Operation	Duration [h]	I-129 Activity A [MBq] Raw Gas	I-129 Activity A [MBq] Vent Air	DF
1.	MLW Evaporation with Iodine Filtration	1500	0.8	0.02	33
2.	Outage of Facility with Iodine Filtration	2260	0.3	>0.01	37
3.	Outage of Facility without Filtration	5000	0.5	0.5	-
Total		8760	1.6	0.53	3

(1) 1989年の中レベル廃液は230 m³で、そのうちヨウ素-129は11 MBq(使用済燃料中のヨウ素量の0.5~1%相当)であり、物質収支は蒸発缶蒸留液中のヨウ素は36%(4 MBq)、濃縮液は50%(5.4 MBq)、オフガス14%(1.6 MBq)である。

(2) 硝酸銀含浸吸着剤(AC 6120)はヨウ素吸着に効果的であり、年間当たりのDFは平均30~40である。

文献まとめ表

4-3

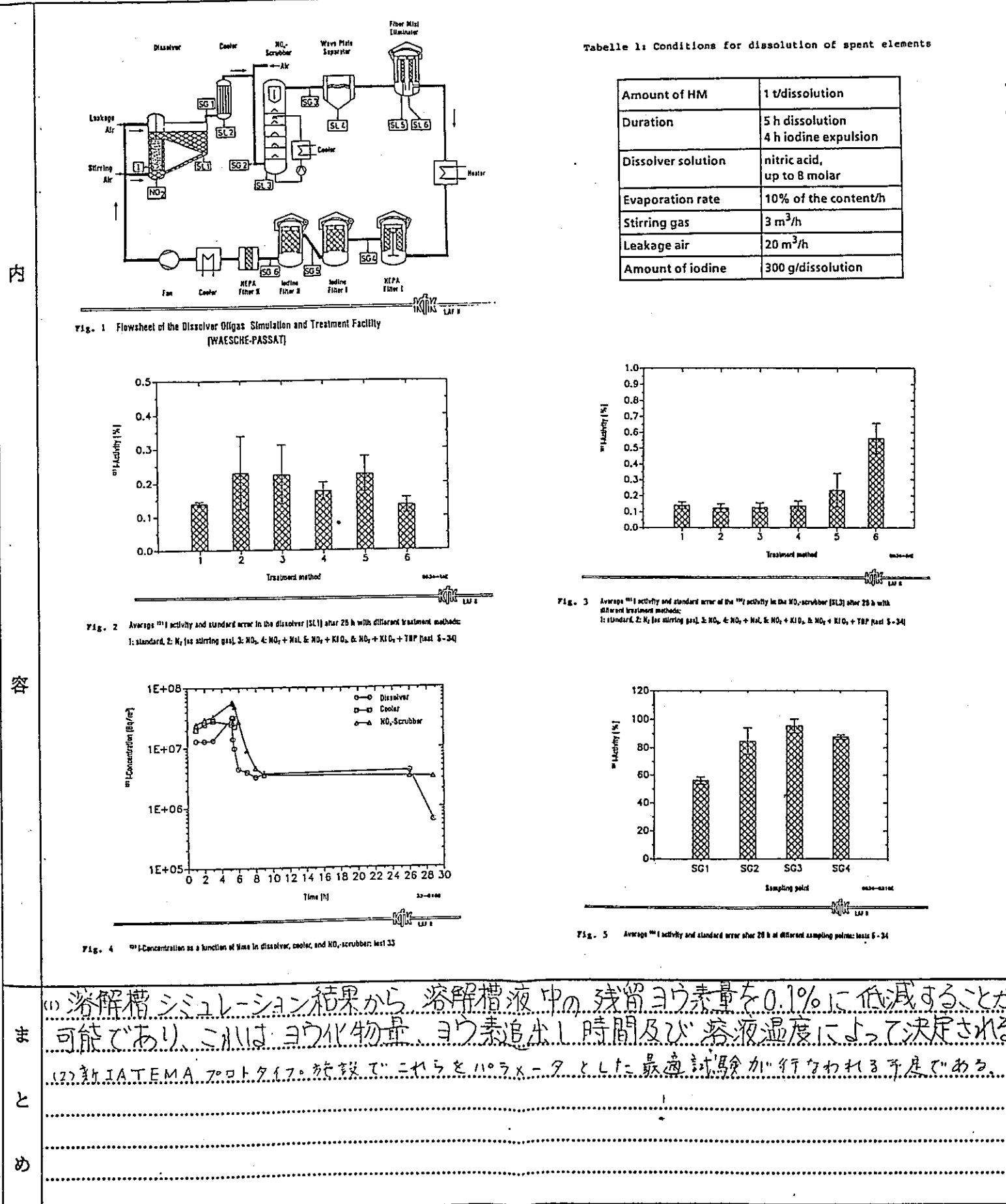
文献名	Technical-scale Iodine Expulsion from the Dissolver Solution and Balance Stripping for Liquid and Gaseous Iodine Fractions J. Furrer, [*] H. Deuter, [*] A. Linck, [*] R. Kaempfer, [*] K. Jannakos, ^{**} (KfK, Hauptabteilung Ingenieurtechnik)
-----	---

目的	溶解槽液に残留しているヨウ素量の低減化とWAESCHE/PASSAT溶解槽オフガスシミュレーション・処理施設での気液相中のヨウ素分配について検討する。
----	---

内 容	1. 概要 (1) WAESCHE/PASSAT溶解槽オフガスシミュレーション・処理施設のフローをFig. 1に示す。(SL, SGはサンプリングポイントを示す) (2) 使用済核燃料の溶解条件をTable 1に示す。
-----	---

内 容	2. 結果 (1) 溶解槽: 搅拌ガスとしてN ₂ の代りに空気及びNO ₂ を使用したが相違なく、またNaI, KI, TBPをキャリアで添加しても効果なくこれらヨウ素濃度は0.1~0.35%であった。(Fig. 2参照) (2) NO ₂ スクラバー: TBPが含有している場合、スクラーバ液中のヨウ素濃度は著しく増加し、平均値0.15%に対して0.55%であった。(Fig. 3参照) (3) 溶解シミュレーションにおけるヨウ素分配の挙動をFig. 4に示す。ヨウ素抽出して7時間後、添加ヨウ素の5~8%がオフガスと同伴した。 (4) ガス中の各点のヨウ素濃度をFig. 5に示す。実験からヨウ素の物質収支は100±1%であった。
-----	---

ま と め	(1) 溶解槽シミュレーション結果から、溶解槽液中の残留ヨウ素量を0.1%に低減することが可能であり、これはヨウ化物量、ヨウ素抽出時間及び溶液温度によって決定される。 (2) 新IATEMAプロトタイプを設て、これらを10ラム×7とした試験が行なわれる予定である。
-------	---



文献まとめ表

4-4

文献名	ELIMINATION OF IODINE FROM RADIOACTIVE GASEOUS EFFLUENTS IN A PACKED COLUMN																																																																
	B. Vignau*, J.-P. Grumondy ** and M. Roustan** CEA - BAGNOLS SUR CEZE - France * CEA - FONTENAY-AUX-ROSES - France, ** INSA - France																																																																
(1) 0.5 N NaOH 濃液による充填塔による I_2 除去システムの水力学的データを取得し、充填塔の設計の最適化を図る。																																																																	
(2) 充填材として Raschig rings, Berl saddles, Multiknits を用い、内径 0.1m, 充填高さ 2m のカラムにおける圧損、ホールドアップ、実効表面積、軸方向分散係数及び物質移動係数 K_G を決めた。																																																																	
<p>Fig. 1 : Pilot flow-sheet</p> <p>0. Compressed air 1. Activated charcoal filter 2. Air saturated with water 3. Liquid outlet 4. Cyclone 5. Gas mixing 6. Column 7. CO_2 flow meter 8. Air flow meter 9. CO_2 10. Tank 11. Sampling 12. Liquid tank 13. Mixing system 14. Pump 15. Liquid flowmeter 16. Air extraction 17. Gas inlet 18. Liquid inlet 19. Pressure tap 20. Pneumatic valve 21. Température probe</p>																																																																	
<p>Fig. 1 : Pilot flow-sheet</p> <table border="1"> <thead> <tr> <th>Packing</th> <th>nominal dimension $m \cdot 10^{-3}$</th> <th>external diameter $m \cdot 10^{-3}$</th> <th>height $m \cdot 10^{-3}$</th> <th>thickness $m \cdot 10^{-3}$</th> <th>contact surface $m^2 \cdot m^{-3}$</th> <th>free space $m^3 \cdot m^{-3}$</th> <th>rings number $m^{-1} \cdot 10^{-3}$</th> <th>critical surface tension $N \cdot m^{-1}$</th> </tr> </thead> <tbody> <tr> <td>Glass Raschig rings</td> <td>10</td> <td>10</td> <td>10</td> <td>1</td> <td>470</td> <td>0.78</td> <td>760</td> <td>0.073</td> </tr> <tr> <td>Ceramic Raschig rings</td> <td>10</td> <td>10</td> <td>10</td> <td>1.75</td> <td>490</td> <td>0.59</td> <td>680</td> <td>0.061</td> </tr> <tr> <td>P.V.C. Raschig rings</td> <td>10</td> <td>10</td> <td>10</td> <td>1</td> <td>492</td> <td>0.78</td> <td>780</td> <td>0.040</td> </tr> <tr> <td>Steel Raschig rings</td> <td>13</td> <td>13</td> <td>12.8</td> <td>1.7</td> <td>342</td> <td>0.75</td> <td>330</td> <td>0.071</td> </tr> <tr> <td>Ceramic Berl Saddles (3)</td> <td>10</td> <td>--</td> <td>--</td> <td>--</td> <td>670</td> <td>0.66</td> <td>690</td> <td>0.061</td> </tr> <tr> <td>Wire mesh packing "Multiknit"</td> <td>100</td> <td>--</td> <td>--</td> <td>--</td> <td>1950</td> <td>0.94</td> <td>--</td> <td>0.071</td> </tr> </tbody> </table> <p>Table 1 : Geometrical characteristics of used packings</p>		Packing	nominal dimension $m \cdot 10^{-3}$	external diameter $m \cdot 10^{-3}$	height $m \cdot 10^{-3}$	thickness $m \cdot 10^{-3}$	contact surface $m^2 \cdot m^{-3}$	free space $m^3 \cdot m^{-3}$	rings number $m^{-1} \cdot 10^{-3}$	critical surface tension $N \cdot m^{-1}$	Glass Raschig rings	10	10	10	1	470	0.78	760	0.073	Ceramic Raschig rings	10	10	10	1.75	490	0.59	680	0.061	P.V.C. Raschig rings	10	10	10	1	492	0.78	780	0.040	Steel Raschig rings	13	13	12.8	1.7	342	0.75	330	0.071	Ceramic Berl Saddles (3)	10	--	--	--	670	0.66	690	0.061	Wire mesh packing "Multiknit"	100	--	--	--	1950	0.94	--	0.071	
Packing	nominal dimension $m \cdot 10^{-3}$	external diameter $m \cdot 10^{-3}$	height $m \cdot 10^{-3}$	thickness $m \cdot 10^{-3}$	contact surface $m^2 \cdot m^{-3}$	free space $m^3 \cdot m^{-3}$	rings number $m^{-1} \cdot 10^{-3}$	critical surface tension $N \cdot m^{-1}$																																																									
Glass Raschig rings	10	10	10	1	470	0.78	760	0.073																																																									
Ceramic Raschig rings	10	10	10	1.75	490	0.59	680	0.061																																																									
P.V.C. Raschig rings	10	10	10	1	492	0.78	780	0.040																																																									
Steel Raschig rings	13	13	12.8	1.7	342	0.75	330	0.071																																																									
Ceramic Berl Saddles (3)	10	--	--	--	670	0.66	690	0.061																																																									
Wire mesh packing "Multiknit"	100	--	--	--	1950	0.94	--	0.071																																																									
<p>(3) 実験結果</p> <p>① 厚さ (Fig. 3), ② ホールドアップ (Fig. 4), ③ 表面積 (Fig. 5a, 5b)</p> <p>Multiknit の $AE = 1.7$, Berl saddles & Rasching rings は上部で 2~5倍である。</p>																																																																	
<p>内</p> <p>Fig. 5 : Ratio of measured interface area to geometrical interface area.</p> <p>Fig. 6 : Column height versus efficiency</p> <p>Fig. 7 : Column height versus efficiency</p>																																																																	
<p>容</p> <p>Fig. 8 : $K_G(I_2)$ versus gas flowrate</p> <p>Fig. 9 : $K_G(CO_2)$ versus gas flowrate</p>																																																																	
<p>ま と め</p> <p>(1) Raschig rings, Berl saddles, および Multiknit を充填材に用いた充填塔の圧損、ホールドアップ、表面積、軸方向分散係数を決めた。</p> <p>(2) $I_2 - air - NaOH$ 系の K_G を決定して、$CO_2 - air - NaOH$ 系の K_G を求めた。$K_G(I_2) = 0.22 G^{0.80}$, $K_G(CO_2) = 0.34 G^{0.80}$</p> <p>$K_G(I_2)/K_G(CO_2) = 0.7$, $(D(I_2)/D(CO_2)) = 0.5$</p>																																																																	

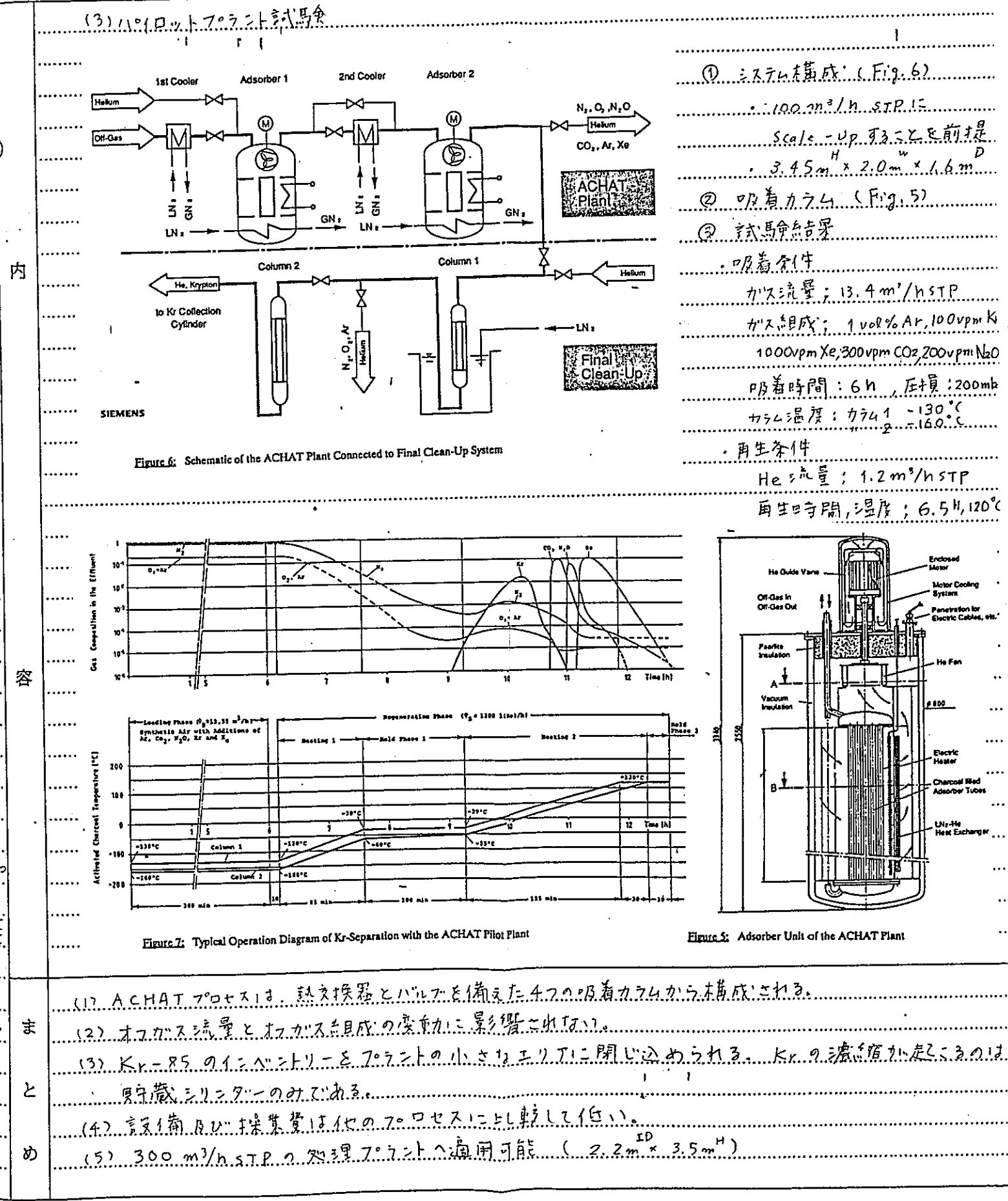
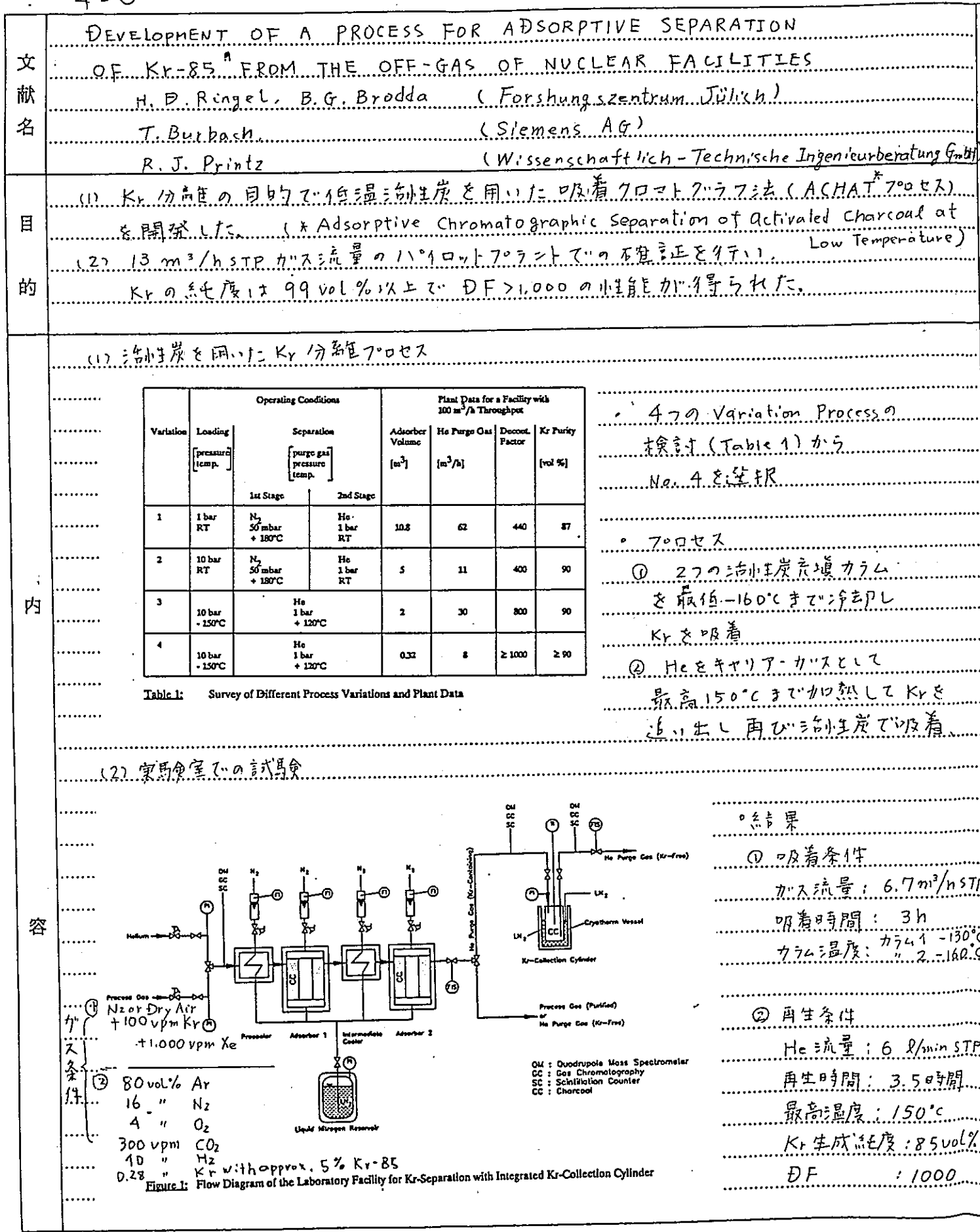
文献まとめ表

4-5

文献名	<p>IODINE AND NO_x BEHAVIOR IN THE DISSOLVER OFF-GAS AND IODOX SYSTEMS IN THE OAK RIDGE NATIONAL LABORATORY INTEGRATED EQUIPMENT TEST FACILITY</p> <p>J. F. Birdwell (ORNL)</p>	内 容	<p>(2) NO_x とヨウ素効率の解明</p> <p>D_iNO_x</p> <p>Li. 500 kg/u/d (500~1000 SLM DOG) 溶解時 NO_x 吸収率 - タ</p> <p>(Sample Point 1~5 における NO_x, NO 测定データが示されています)</p> <p>(a) 溶解槽出口 -- NO; 0~0.1%, NO_x; 0.5~1.25% (Sample Point 1)</p> <p>(b) オ1コンデンサー入口 ... NO > NO_x (Sample Point 2)(c) オ2コンデンサー入口 ... NO > NO_x (Sample Point 3)</p> <p>(d) オ2コンデンサー出口 ... NO > NO_x (Sample Point 4)(e) NO_x スクラバーアウト ... NO_x < 0.7% (Sample Point 5)</p> <p>(ii) NO, NO_x 注入試験</p> <p>上記サンプルポイントにて同様のデータを取得。Point Data の取扱い。</p>
	<p>(1) ヨウ素吸収時のオフガス効率の解明 (IET 使用) - DOG中のNO_x濃度の解明</p> <p>(2) オフガスシステム中のNO_xとヨウ素効率の解明</p> <p>(3) IODOX BY DOG 系におけるNO_xとヨウ素除去率の評価 - NO, NO_xを模擬ガスとして供給</p>		
	<p>(1) ターフェルコンデンサーを用いた DOG システム</p> <p>Fig. 3. Current configuration of IET dissolver and NO_x scrubbing system.</p>		
内容	<p>① ターフェルコンデンサーステムにおけるヨウ素の分配係数</p> $\text{分配係数} = [1793.4 - 150.9(M)](1/T) + 0.547(M) - 11.886$ $D_i = \text{分配係数} (= I_2 \text{gas}/I_2 \text{liquid}), T: 温度 (°K), M: 硝酸イオン濃度 (M)$ <p>② ヨウ素除去率</p> <p>オ1段: 0.03~5.78%, オ2段: 0.02~3.42% → オ1段, オ2段で 0.35~6.29%</p> <p>(323~343K)</p> <p>③ NO_x 除去率</p> <p>ターフェルコンデンサー: 5~58% (平均 20±7%)</p> <p>ターフェルコンデンサー + スクラバ: 40~60% スクラバ出口濃度 0.4~1.0%</p>	容 容 容	<p>(2) ヨウ素</p> <p>サンプルポイント 1~6 でのコンデンサー、ボトルタンク及び酸溜りタンクにおけるヨウ素濃度を分析。オ1コンデンサーから 0.337%, オ2コンデンサーから 1.20.31~1.8% のヨウ素が蒸発本質へ戻る事が確認。</p> <p>(3) IODOX システム小角</p> <p>Fig. 2. IODOX system schematic with sample withdrawal points indicated.</p>
			<p>(1) NO_x 削減率の解明結果。DOG までの除去率 NO_x-HNO₃-H₂O にての上昇率の低下率成 分</p> <p>反応メカニズムに寄与することから</p> <p>(2) ターフェルコンデンサーステムでは、オ2コンデンサーでの NO + NO_x 濃度は 1.5% 以下である。</p> <p>(3) ターフェルコンデンサーステム: NO_x の H₂O₂ システムにより、DOG から客用蒸発へのヨウ素のリサイクル率は 4~5% である。また石鹼液は 99% である。</p> <p>(4) IODOX システムにおけるヨウ素除去率は 11~61% と非常に低かった。</p>

文献まとめ表

4-6



文献まとめ表

7-4

文献名	<p><u>Photochemical Removal of Radioactive Iodine from Air</u></p> <p>A. C. Vilkis, G. J. Evans, and R. MacFarlane (AECL)</p>																																							
	<p>放射性ヨウ素はトリエチレンジアミンあるいはKI含浸活性炭によって吸着除去できるが、事故により多量に発生した場合、活性炭の吸着性能は有機物等の吸着によって突然低下する。このようなことを生じない信頼性の高いシステムとするため、放射性ヨウ素(有機物及び無機物)に紫外線を照射してヨウ素分子(I_2)に転換させた後、活性炭で吸着除去する方法について検討した。</p>																																							
目的	<p>内</p> <p>1. 概要 光化学を利用したヨウ素の化学反応は以下に示す。</p> $RI + h\nu \rightarrow R + I$ $R + O_2 \rightarrow \text{酸化物}$ $I + I + M \rightarrow I_2 + M \quad M: \text{有機物}, M: \text{第3物質(例えは空気)}$ <p>さらにオゾンとの反応によって</p> $I_2 + O_3 \xrightarrow{<370^\circ\text{C}} I_2O_5 \xrightarrow{\text{H}_2O} HI_xO_y$ <p>内</p> $I_2 + O_3 \xrightarrow{>370^\circ\text{C}} I_2O_5 \xrightarrow{\text{H}_2O} HI_xO_y$																																							
内容	<p>2. 結果 (1) ヨウ素のDF1000を得るために必要オゾン濃度を調べた結果をTable 1に示す。 (2) 光化学的システムとしてSPARGEシステム(System for Photochemical Abatement of Radioiodine in Gaseous Effluent)及びSPARCシステム(System for Photochemical Abatement of Radioiodine in Containment)が研究開発されている。</p> <p>① SPARGEシステム</p> <p>a. SPARGEシステム(Fig. 1参照)は、12kWの中圧水銀ランプを装着した15m³の容器(中3000×2200)をもち、ランプの冷却のための冷却水、N₂ガスを供給するサポータシステムも装備する。また、容器の内面は紫外線を高反射するようにアルミニウムでコーティングされている。</p> <p>b. 運転条件によるCH₃Iの転換率をTable 2に示す。</p> <p>c. SPARGEシステムは、トラックへの搭載が可能で重量は約15tであり、総コストは約1Mカナダドルと推定している。</p> <p>② SPARCシステム</p> <p>SPARCシステムはFig. 3に示すように12kWの中圧水銀ランプを装着した1~1.5m³容器をもつ。総コストは約250万カナダドルと推定している。</p>																																							
まとめ	<p>光化学による放射性ヨウ素の除去方法について検討を行った。原子炉事故に適応できるシステムとしてSPARGEシステム及びSPARCシステムの概念設計を行った。</p>																																							
<p>Table 1. Ozone Requirement for I₂ Removal (DF = 1000) as a Function of Flowrate and Temperature</p> <table border="1"> <thead> <tr> <th>Flowrate (m³/s)</th> <th>Temperature (°C)</th> <th>Required O₃ (%)</th> </tr> </thead> <tbody> <tr> <td>1</td> <td>50</td> <td>0.21</td> </tr> <tr> <td>1</td> <td>100</td> <td>0.075</td> </tr> <tr> <td>1</td> <td>150</td> <td>0.035</td> </tr> <tr> <td>0.6</td> <td>50</td> <td>0.12</td> </tr> <tr> <td>0.6</td> <td>100</td> <td>0.045</td> </tr> <tr> <td>0.6</td> <td>150</td> <td>0.021</td> </tr> </tbody> </table>					Flowrate (m ³ /s)	Temperature (°C)	Required O ₃ (%)	1	50	0.21	1	100	0.075	1	150	0.035	0.6	50	0.12	0.6	100	0.045	0.6	150	0.021															
Flowrate (m ³ /s)	Temperature (°C)	Required O ₃ (%)																																						
1	50	0.21																																						
1	100	0.075																																						
1	150	0.035																																						
0.6	50	0.12																																						
0.6	100	0.045																																						
0.6	150	0.021																																						
<p>Table 2. Photochemical Conversion of CH₃I to I₂ in SPARGE as a Function of Key Variables</p> <table border="1"> <thead> <tr> <th>Flowrate (m³/s)</th> <th>Number of lamps</th> <th>Reflectivity (%)</th> <th>Conversion factor</th> </tr> </thead> <tbody> <tr> <td>0.6</td> <td>15</td> <td>90</td> <td>3150</td> </tr> <tr> <td>0.6</td> <td>15</td> <td>80</td> <td>60</td> </tr> <tr> <td>0.6</td> <td>10</td> <td>90</td> <td>215</td> </tr> <tr> <td>0.6</td> <td>10</td> <td>80</td> <td>15</td> </tr> <tr> <td>1</td> <td>15</td> <td>90</td> <td>125</td> </tr> <tr> <td>1</td> <td>15</td> <td>80</td> <td>10</td> </tr> <tr> <td>1</td> <td>10</td> <td>90</td> <td>25</td> </tr> <tr> <td>1</td> <td>10</td> <td>80</td> <td>5</td> </tr> </tbody> </table>					Flowrate (m ³ /s)	Number of lamps	Reflectivity (%)	Conversion factor	0.6	15	90	3150	0.6	15	80	60	0.6	10	90	215	0.6	10	80	15	1	15	90	125	1	15	80	10	1	10	90	25	1	10	80	5
Flowrate (m ³ /s)	Number of lamps	Reflectivity (%)	Conversion factor																																					
0.6	15	90	3150																																					
0.6	15	80	60																																					
0.6	10	90	215																																					
0.6	10	80	15																																					
1	15	90	125																																					
1	15	80	10																																					
1	10	90	25																																					
1	10	80	5																																					
<p>FIGURE 1. Conceptual Flow Sheet of SPARGE.</p>																																								
<p>FIGURE 2. Conceptual Design of Transportable Photochemical Scrubber (SPARGE).</p>																																								
<p>FIGURE 3. Conceptual Design of Mobile Photochemical Scrubber (SPARC).</p>																																								

文献まとめ表

9-3

文献名	FACTORS AFFECTING THE RETENTION OF METHYL IODIDE BY IODIDE-IMPREGNATED CARBON	
	M. L. Hyder and R. A. Malstrom	Westinghouse Savannah River Company, Savannah River Laboratory
SRのサト草子戸建屋の空気は大気放出前に放射性ヨウ素の除去のために活性炭ベットと経由して放出される。使用されている活性炭は North American Carbon 社製の GX-176 ガラス活性炭で 1% の TEDA と 2% の KF と添着したものである。その実験期間は 30ヶ月とされているが、ここでの研究は長期間の運転中での活性炭の特性変化を簡便な方法で検討を試みたものである。		
(ii) 実験方法		
内 容	<p>(1) 活性炭の性能を評価は ASTM Method D 3803(B) を変形したもの、EPS 51-mm ベットを用いるかわりに 25-mm ベットを 2 フラグースについていたものを用いて、25-mm の透過率を用いた。</p> <p>(2) 活性炭に吸着したヨウ化物の量測定法により、ヨウ化物濃度計電極を用いて定量した。</p> <p>(3) 活性炭の表面積は、Micrometrics Digiisorb 2600 表面積分析装置によって測定した。</p> <p>(4) 活性炭を通過するメチルヨウ素は Pyrolysis Chamber で加熱分解してヨウ化ヒドロゲンを生成し、元素状のヨウ素と生成母の C-サブ-光発光 (5 wot Ar イオンレーザー) によって分析した。発光は 550 nm 長テルターランジニアードによって分析した。</p>	
	(2) 結果と考察	
	(1) 活性炭とメチルヨウ素の相互作用	
	(i) 湿度の影響 (Fig. 4)	
(ii) 有機物の影響 (Fig. 6)		
Figure 4. Dried and undried carbon compared.	Undried C	Dried C

(iii) 湿度の影響のまとめ (Fig. 7)					
29ヶ月使用後、湿度のコントロールがないもの (Undried C), 実験室の空気で乾燥させたもの (Dried C) 及び乾燥したものは主として乾燥室空気でのもの (Dry C, Dry Air)					
Figure 7. MI elution in dry air.					
(iv) ヨウ素含有率と表面積に対するヨウ化メチルの除去					
(1) 活性炭サンプルの蒸出、表面積、除去特性データ (Tab. 1)					
Table 1. Leach, area, and methyl iodide retention data for the carbon samples studied. (0 ~ 30ヶ月使用したもの)					
Sample	Area (M ² /g)	Iodide Leach (ppm by weight)	AxII	Methyl Iodide Retention	-Ln/Io
P3046	391	90	35,200	19	0.163
P5116	836	270	225,700	72	1.27
15732	849	110	93,390	51	0.713
K4047	380	190	72,200	32	0.386
(New)	1176	665	750,800	96	3.0
K6057	758	134	101,500	44	0.58
K2016	312	341	106,200	36	0.446
L3126	774	286	221,200	62	0.968
P2126	736	265	194,900	70	1.20
L3095	865	203	175,500	73	1.31
1850	292	115	33,600	12	0.127

(1) 活性炭によるヨウ化メチルの除去における湿度、有機物からの除去率を低下させる。
(2) 活性炭の上の表面積の変化及び表面からのヨウ化物のロスから活性炭の効率を決める上で重要なである。

文献まとめ表

13-2

文献名	BEHAVIOR OF RUTHENIUM IN THE CASE OF SHUTDOWN OF THE COOLING SYSTEM OF HLLW STORAGE TANKS
	M. Philippe, I.P. Mercier and J.P. Gue (CEA)

目的	La Hague 再処理工場の安全評価の一環として、HLLW貯蔵タンクでの冷却系損失時の Ru の挙動を実験室規模の蒸発装置と用い、燃焼度 30,000 MW.D/T の MOX 燃料を数 kg 再処理した時の実際溶液を使用して調べる。以下の試験を実施した。 (1) FP 溶液の気液平衡データの取得 (2) 蒸発、乾燥過程のデータの取得
----	---

内容	(1) FP 溶液 蒸発時における酸性度と温度の関係 (気液平衡曲線; Fig. 3) ① 硝酸水溶液に比べて含有硝酸濃溶液の沸点が高 ② 温度 116°C 硝酸 5M 含有溶液中では結晶が生成する。 ③ 温度 130°C 以上では NO _x の生成がみられ硝酸の分解を示唆する。
----	--

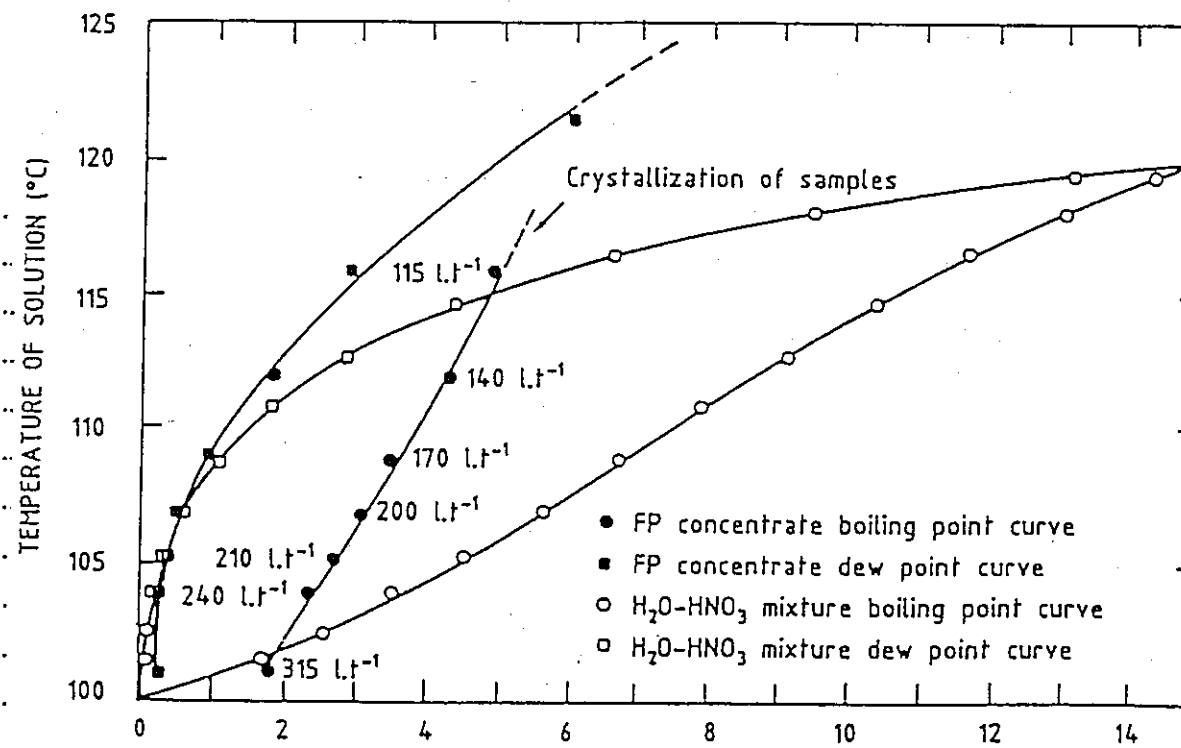


Fig. 3 Liquid/Vapor equilibrium curves of FP concentrate

(2) FP 溶液 蒸発中の Ru の挙動
① 濃度 85 L·T⁻¹ 液温 119°C 酸浓度 6 M
この条件下で Ru は蒸発する
② 蒸発中タンクから移行 L·T⁻¹ Ru と主な放射性同位元素のバランス (Tab. 2)

radioisotope	Tab. 2 Balance of main radioisotopes transferred from the tank					
	initial activity GBq (Ci)	in solution in the condensate trap	in the caustic apparatus	precipitate rinse form	total solution	activity recovered (% of initial activity)
¹⁰⁶ Ru	921 (24.9)	7.09	2.4·10 ⁻⁴	3.33	1.68	12.1
¹³⁷ Cs	4503 (121.7)	1.12·10 ⁻³	7·10 ⁻⁵	2.6·10 ⁻⁴	-	1.45·10 ⁻³
α emitters	1520 (41.08)	9·1·10 ⁻⁴	-	2.2·10 ⁻⁴	-	1.13·10 ⁻³

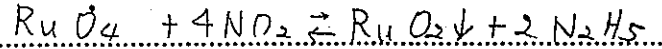
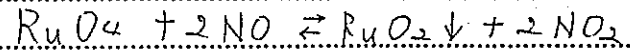
内

③ 濃縮液中に ニトラトニトロシルテニウムの存在を確認 (UVスペクトル)
 ニトラトニトロシルテニウムは RuO₄, RuNO₃ が H₂O, HNO₃, NO_x あるのは O₂ と瞬時に反応し生成したものと推定

④ タンクの壁面等に黒色物質の付着が観察され、この物質は Ru を含む約 15% を含む。



あるいは



(ただし、RuO₂ の確認はされていない。)

⑤ 蒸発、乾燥試験のまとめ
 (i) 热騰域では、蒸気に同伴するエアロソルにより少量の Ru とその他 FP がタンク中から移行する。
 (ii) 热燥域附近では、Ru は一部酸化分解し、この分解生成物の半数によく移行が主たる領域で、他の FP とともにエアロソルの形態にて移行が起る。
 (iii) 热乾燥域では、蒸発した RuO₄ は NO_x と反応し RuO₂ (固体) と推定される物質を生成する。

(3) 実機へのスケールアップ。

本ビーカー試験で得られた結果に基づき、HLLW の出力密度を 10W/L とし、かつ完全断熱と仮定すると、HLLW が完全に蒸発し乾燥域までの到達時間は約 90h と算定した。(B-Pまでの 5hr の昇温時間を含む) この条件下で、Ru の揮発は 75 hr 後に終る。(冷却部での回復時間の余裕をみて) 実際オフグース系のタフト等からの放熱で部分的には急速蒸発が起こり、タンクへの環流が起こって Ru の放出時間は更に長くなると考えられる。

まとめ

- (1) Ru は蒸発直前に濃縮物から揮発する。
- (2) 160°C 近くの温度では Ru 全体の 12% が揮発する。
- (3) H₂O, HNO₃, NO_x 及び O₂ の存在下では、揮発 Ru は再結合して主にニトラトニトロシルテニウムを生成するが、あるいは 分解して Ru 酸化物 (おそらく RuO₃) と推測されると共に装置の壁面に付着する。
- (4) 実機で、運転員が冷却系の回復を行なう余裕とみて、Ru が HLLW から放出されるまで約 3 日間の余裕がある。

3. 疎水性吸着剤の基礎物性

スチレン-ジビニルベンゼン共重合体を担体とする疎水性ヨウ素吸着剤の製造法およびその基礎物性の概要を以下に示す。

スチレン-ジビニルベンゼン（以後SDBと略す）のようなポリマー粒子の製造法は一般的には懸濁重合法で製造されるが、ここでは当研究室で開発されたカプセル重合法によるSDB重合法を示す。この方法は単分散性のよいポリマー粒子を作ることができる。

図3-1にカプセル製造装置の概念図を示す、この装置によりモノマーを内包したカプセルを作り、それを定温浴中で重合を行い、SDB担体を作る。その手順は次の通りである。

(1) 二重円筒ノズル(7)の内管に液溜(3)からモノマー溶液 {スチレン、ジビニルベンゼン（以後DVBと呼ぶ）のモノマーに多孔質化剤のヘプタン、重合開始剤（過酸化ベンゾイル）を適当な割合で混合したもの} を流し、外環部に液溜(4)からカプセル化剤 {アルギン酸ナトリウム} を流して液ジェットを形成させる。

(2) ノズルの振動数、振幅を調節して、液柱を振動数に同期させ、分散する。そのときモノマー溶液の内包カプセルが形成される。モノマーの粒径はノズルの振動数、振幅、モノマー供給流量によって調節される。

(3) このカプセルを塩化カルシウム水溶液中(8)に滴下すれば、カプセル化剤はアルギン酸カルシウムにゲル化するために、モノマー溶液はカプセル内に安定に保持される。

(4) カプセルを適当な重合条件（例えば、70°C、8時間）におけるべ、内包されているモノマーを重合することができる。モノマーはカプセル化剤で覆われているために、懸濁重合法のように重合中のモノマー粒子の融合や重合器壁面への付着の問題は起きない。

(5) 重合後、カプセル化剤（アルギン酸カルシウム）を10wt%のポリリン酸ナトリウム水溶液で脱被覆し、ヘプタンや重合開始剤を洗浄によって除去すれば、単分散の多孔質SDB粒子を得ることができる。

SDB粒子の製造過程において、粒子を多孔質化するためにモノマー溶液にはヘプタンが加えられる。ヘプタンはモノマー（スチレンやジビニルベンゼン）には溶解するが、ポリマー（スチレン-ジビニルベンゼン共重合体）とは相分離する性質がある。従ってモノマー中にヘプタンを加えておけば、重合中にポリマーとヘプタンが相分離するために、重合後ヘプタンを除去したところに、細孔が形成される。細孔分布、細孔容積はモノマーに混合するヘプタンの割合等によって制御することができる。

表3-1にはSDB担体の製造条件と細孔容積、表面積の関係を示す。細孔容積、表面積はそれぞれ水銀圧入法およびBET法によって測定した。細孔容積は細孔径300Åの前後で分けて示した。DVB濃度を増加させると300Å以下の小細孔が増えるこ

とがわかる。一方ヘプタンを増やすと細孔容積は増加し、とくに300 Å以上の大細孔の割合が増える。それに反して表面積は減少する。

疎水性担体への銀担持

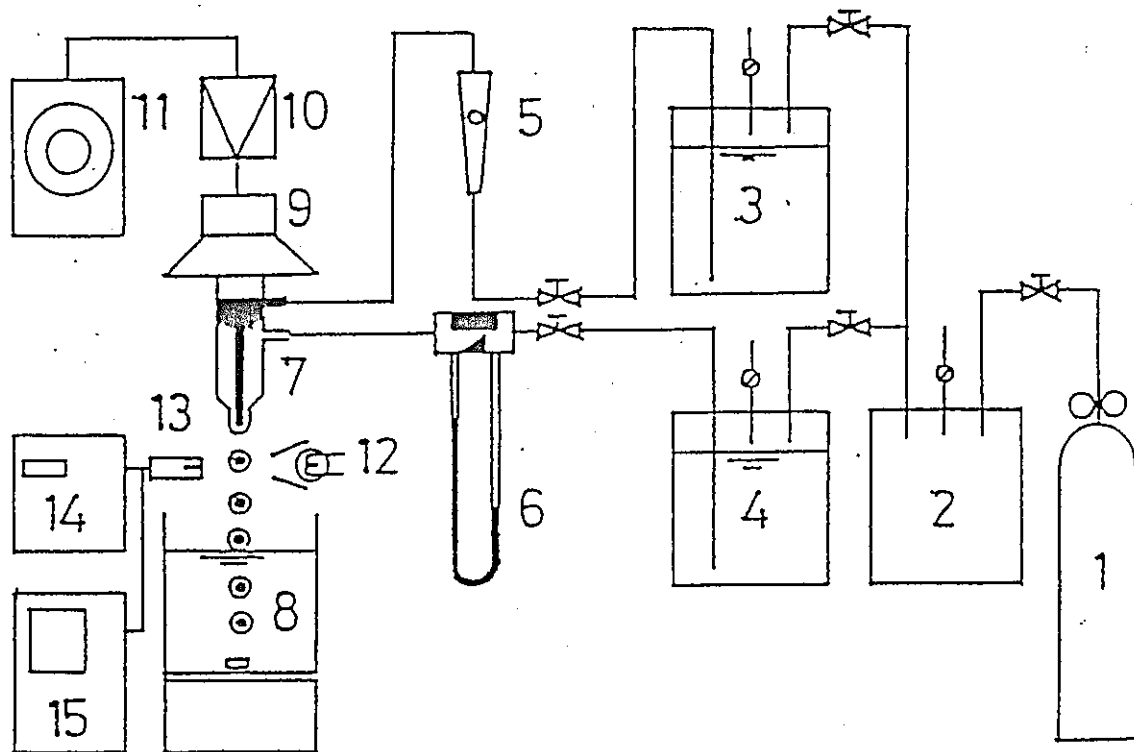
SDB担体は疎水性であるために、硝酸銀水溶液に担体を含浸するという通常の銀担持法を利用することができない。疎水性担体に金属化合物を担持するには、従来SDBと親和性のあるエタノールを溶媒として用いる方法が検討されてきた。例えば、重水濃縮に用いられる疎水性白金触媒は多孔質のSDB担体に1-2%の白金を担持したものである。白金は塩化白金酸水溶液とエチルアルコールの混合液にSDB担体を含浸することにより担持された。そこで、硝酸銀の水溶液にエチルアルコールを加えた含浸液を用いて、SDBへの銀担持を試みた。しかし、この方法では銀の添着量が10 wt%以下と小さいことや銀が粒子の表面近くに集まってしまうなどの欠点があるために、新しい銀の担持法として溶媒にジオキサンや有機アミンを用いる方法を検討した。

SDBのような高分子架橋ポリマーの特有の性質（高分子効果）として膨潤性がある。膨潤とは溶媒が架橋構造に入り込んで高分子鎖を押し広げる効果であり、高分子への溶媒の親和力と、架橋構造によって生じる高分子鎖の弾性力とのバランスによってその程度が決定される。この膨潤効果を利用すれば、多量の銀を担持することができる。すなわち、SDBに対して膨潤性をもつ溶媒と銀塩（主として硝酸銀）をふくむ水溶液とを混合して含浸液とすれば、SDB担体は膨潤するために、銀塩は担体の内部まで浸透される。ここでは膨潤溶媒としてジオキサンと有機アミンを用いた。

(1) ジオキサン法………50 wt%硝酸銀水溶液にジオキサンを2:8（体積比）で混合した溶液を含浸液とし、その溶液にSDB担体を入れ、常温で6時間攪拌した。その後、担体は溶液からろ過され、70 °Cで真空乾燥した。十分な乾燥によってジオキサンと水分を蒸発すれば、硝酸銀を担持した吸着剤ができる。しかしこの方法は、硝酸銀のような水との溶解度の大きい銀塩の担持には適しているが、水との溶解性の小さい大多数の銀塩（例えば、酢酸銀や炭酸銀）の担持には適用できない。

(2) アミン錯体法………硝酸銀をアミンに溶解させて銀アミン錯体 $[Ag(NO_3)_2]^+$ を形成させて含浸液とし、SDB担体をその溶液中で常温で6時間含浸した。アミンにはジエチルアミン、ブチルアミンを用いた。ジエチルアミンのような低沸点化合物を用いる場合には50 °C程度の低い温度で真空乾燥させることにより硝酸銀吸着剤を作ることができる。一方、ブチルアミンのような高沸点のアミンを用いる場合には、130 °C以上で銀アミン錯体が熱分解されるために金属銀を担持した吸着剤となる。この手法は硝酸銀だけでなく、アミンと溶解する銀塩（大多数の銀塩が使用できる）、例えば酢酸銀や硫酸銀などの担持に適用できる。

表3-2には各銀担持法によって得られた銀の添着量を示す。銀の担持量は何れの方法においても16%以上の実用的な値が得られている。この値は担持条件（例えば、膨潤剤に溶解させた硝酸銀の割合を大きくすること）により更に増加することも可能である。また銀の分布は、ジオキサン法、アミン錯体法のいずれの担持法であっても担体の全面にわたってほぼ均一であった。



- | | |
|-------------------------------------|--------------------|
| 1. N ₂ cylinder | 8.hardening agent |
| 2.buffer tank | 9.speaker |
| 3.monomer reservoir | 10.amplifier |
| 4.encapsulating medium
reservoir | 11.osuillator |
| 5.rotermeter | 12.lamp |
| 6.orifice flow meter | 13.photo sensor |
| 7.deal axial nozzle | 14.digital counter |
| | 15.oscilloscope |

図3-1 カプセル製造装置

表3-1 担体の製造条件と細孔容積、表面積の関係

DVB含有量 (wt%)	Heptane含有量 (vol%)	細孔容積 (ml/g-dry resin)			表面積 (m ² /g-resin)
		全容積	300A以下	300A以上	
2.0	4.0	0.88	0.54	0.43	140
2.0	5.0	1.59	0.57	1.02	128
1.0	4.0	0.73	0.43	0.30	92
3.0	4.0	0.83	0.54	0.29	211

表3-2 銀担持量と担体内部の銀の分布

吸着剤	担持法	担持率 (%) *
硝酸銀吸着剤	ジオキサン法	20.5
金属銀吸着剤	アミン錯体法	28.0
酢酸銀吸着剤	アミン錯体法	15.6

*) 担持率は乾燥樹脂1 gに対する銀担持量

4. 銀添疎水性吸着剤のヨウ素吸着特性

Removal of iodine from simulated DOG

We have tested these three adsorbents to compare the adsorption of iodine from simulated dissolver off-gas using an adsorption column of 20mm x 50mmH₂, as shown in Figure 2. The simulated DOG consists of 200-250ppm of I₂, 2000ppm of NO_x and 5000ppm of water vapor with the balance of dry air. The bed temperature and gas flow rate were kept constant at 130°C and 4.8cm/s, respectively. The concentrations of iodine, NO_x and water vapor in the effluent gas from the test column were measured.

The iodine in the effluent gas was absorbed into KMnO₄-H₂SO₄ solution and reduced to iodide ion by ascorbic acid, and the concentration of I⁻ was measured by an ionmeter. The concentrations of NO_x and water vapor were measured by a chemiluminescence type NO_x analyzer and a gas chromatography packed with porapak-Q, respectively.

Figure 3 shows the breakthrough curves of iodine, NO_x and water vapor for the adsorbent prepared by the amine-complex method. The results show that the iodine was selectively trapped into the bed while no water was adsorbed and NO_x was adsorbed very little.

Figure 4 shows the comparison of breakthrough curves of iodine for the above mentioned three adsorbents and the commercial one (AC6120: amorphous silicic based material impregnated with silver nitrate). Note that the breakthrough of the adsorbent prepared by the amine-complex method occurred after that of AC6120. This adsorbent has the highest iodine adsorption capacity. The silver utilization of this adsorbent calculated from the breakthrough curve was more than 90%.

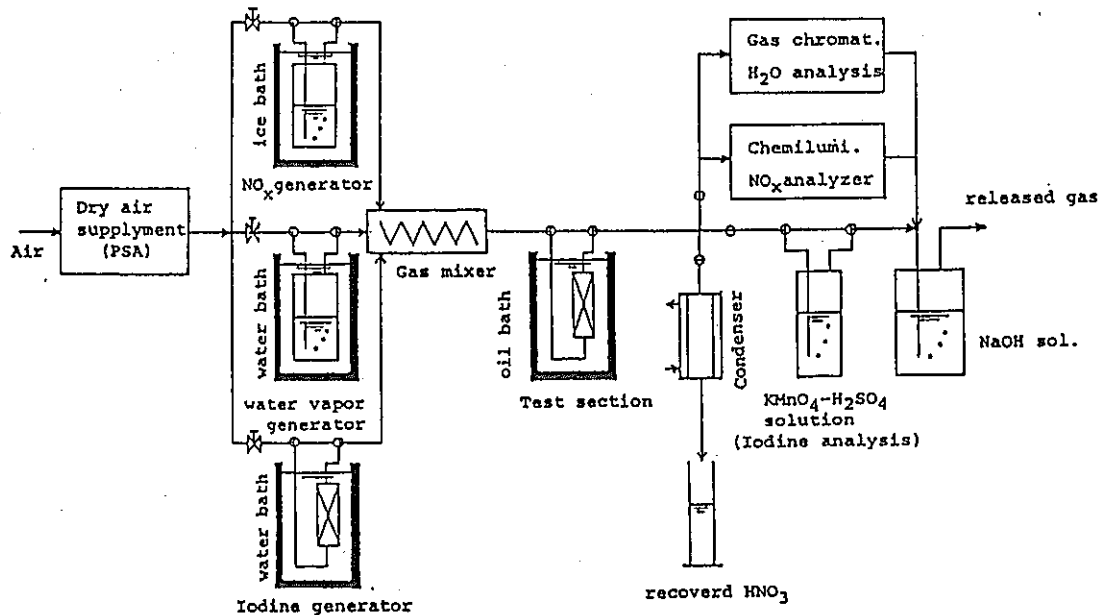


Fig.2 Schematic diagram of experimental set-up.

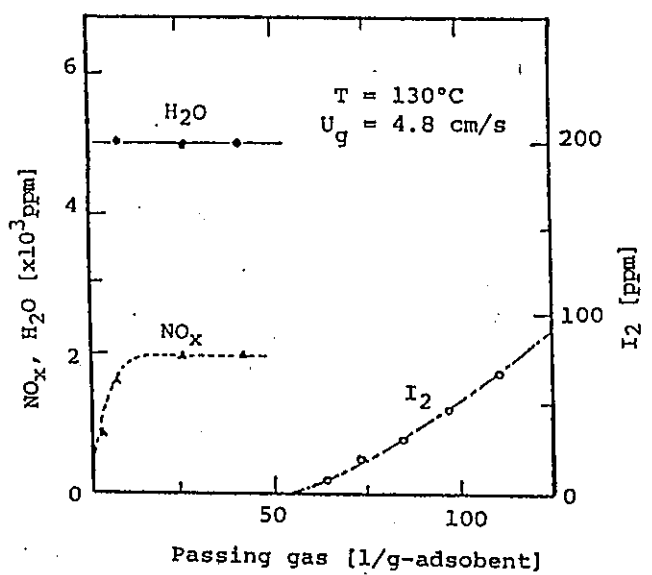


Fig.3 Breakthrough curves of the simulated DOG for the adsorbent prepared by amine-complex method.

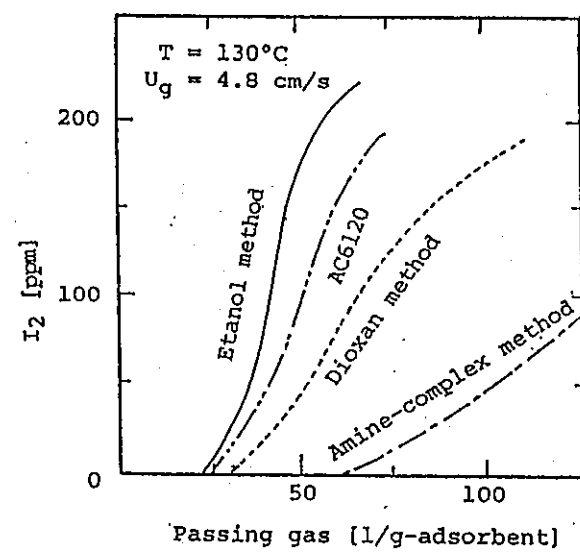


Fig.4 Breakthrough curves of iodine for three developed adsorbents and commercial one (AC6120).

Effect of water vapor and NO_x on adsorption of iodine

The iodine concentrations in effluent for two cases where water vapor is contained in the simulated gas or not, are plotted against the volume of the passing gas in Figure 5. Apparently all points lie on the same breakthrough curve. This result suggests that due to the use of hydrophobic support, the breakthrough of iodine was not influenced by the presence of water vapor.

Figure 6 shows a similar plot to Fig.5 to examine the effect of the presence of 1 vol% NO_x in the simulated gas. Again, all points are on the same breakthrough curve. Thus the breakthrough of iodine was not influenced by the presence of NO_x .

Fig.5 Effect of the presence of water vapor on the breakthrough curve of iodine.

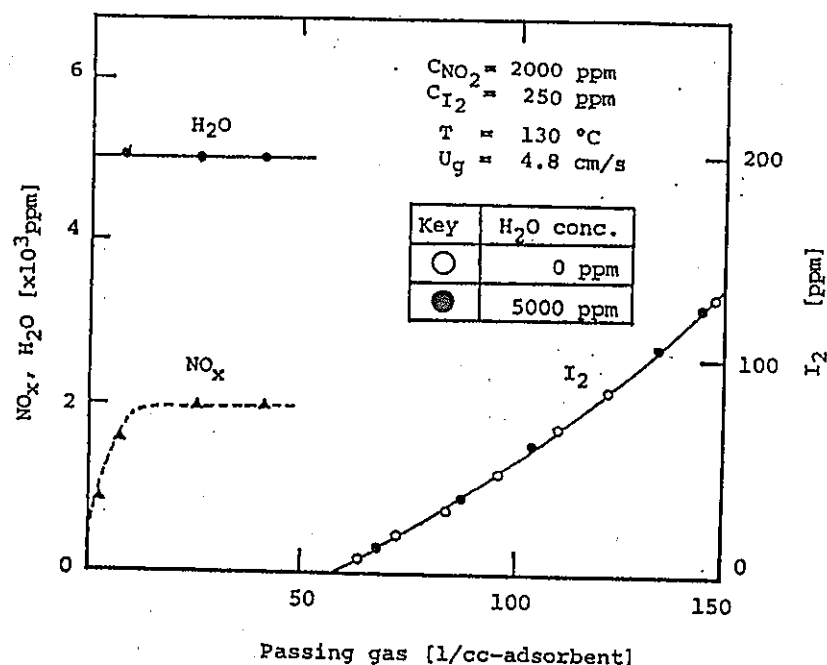
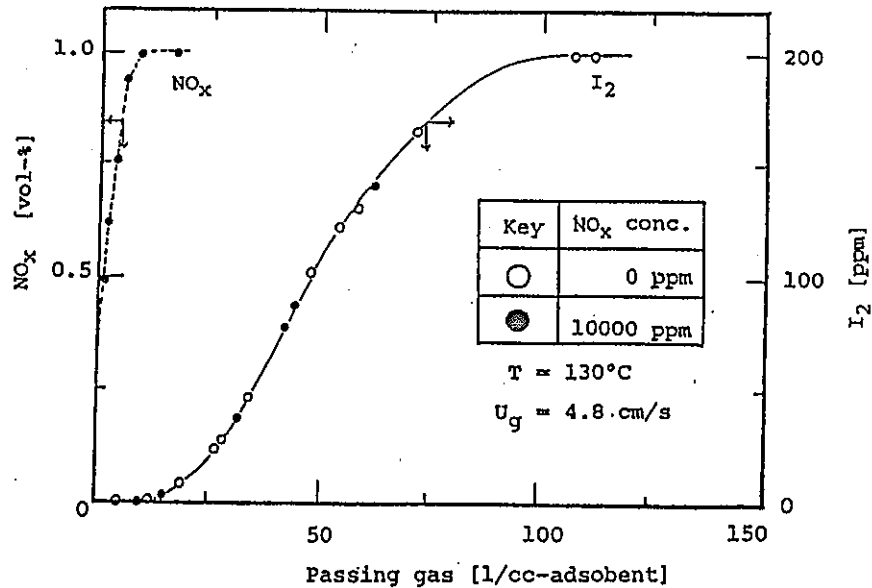


Fig.6 Effect of the presence of NO_x on the breakthrough curve of iodine.



5. 銀添疎水性吸着剤の有機ヨウ素吸着特性

ヨウ化メチルの物理吸着

吸着剤へのヨウ素の吸着には、銀との反応による化学吸着とファンデアワールス力による細孔表面への物理吸着がある。物理吸着されたヨウ素は温度や気体中の有機ヨウ素分圧の変化によって容易に吸脱着をする。

そこで本吸着剤の物理吸着特性を評価するために、SDB担体へのヨウ化メチルの物理吸着量を調べた。（ヨウ化メチルとSDBの間には化学的相互作用はなく、吸着量は全て物理吸着によるものである。）図5-1は20℃、80℃、130℃におけるSDB担体に対するヨウ化メチルの破過特性を示す。物理吸着量は低温ほど大きかった。しかし、80℃以上では物理吸着量はほとんど無視することができる。この温度以上でのヨウ化メチルの吸着では物理吸着の寄与は考慮しなくてもよいと考えられる。

銀添吸着剤へのヨウ化メチルの吸着

図5-2には窒素気流中での銀添吸着剤に対するヨウ化メチルの破過特性を示す。銀添吸着剤としては硝酸銀、酢酸銀、金属銀を用いた（表3-2参照）。ヨウ化メチルは、硝酸銀吸着剤には吸着されるが、酢酸銀吸着剤や金属銀吸着剤にはほとんど吸着されなかった。硝酸銀吸着剤では、通ガス量201/g-dry resinにおいて除染係数は2,000以上（分析限界）401/g-dry resinでは200以上の高い値が得られた。破過曲線から求めた銀利用率は約80%であった。

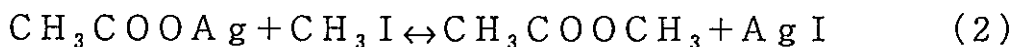
図5-3には破過後の硝酸銀吸着剤のXRD分析の結果を示す。硝酸銀はヨウ化メチルと反応してヨウ化銀を生成しており、ヨウ素酸銀などの他のヨウ素銀化合物は測定されなかった。これらの結果から、ヨウ化メチルと硝酸銀の反応は

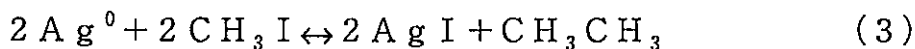


であると考えられる。

図5-4には硝酸銀吸着剤カラムにおいて、通ガス量15、70、100、2301/g-dry resinで得られた流出ガスのガスクロ分析の結果を示す。これらの結果は図5-2の測定値a-bで得られたガスサンプルを分析したものである。a-cの保持時間3.7min付近に測定されるピークは硝酸メチルによるものと考えられ、時間の経過（破過の進行）とともに小さくなる。一方、保持時間4.3min付近のピークはヨウ化メチルのものであり、時間経過とともに大きくなる、即ち、ヨウ化メチルの流出量が増加していることがわかる。これらの結果はヨウ化メチルと銀塩の反応は反応式(1)に従って進行していることをうらづけている。

一方、酢酸銀吸着剤や金属銀吸着剤は、ヨウ化メチルをほとんど吸着しないことから、これらの吸着剤では式(1)と類似な反応





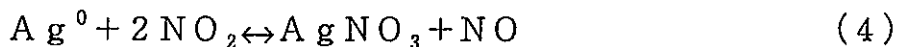
は少なくとも 130°C では起きない。

図 5-5 には吸着温度を変化したときのヨウ化メチルの破過特性を示す。吸着温度は 130°C および 150°C とした。破過曲線は温度によってほとんど変化しなかった。このことから、ヨウ化メチルの吸着速度が、硝酸銀との反応速度により支配されているとは考えにくく、外部境膜や細孔内の拡散速度によってコントロールされている可能性が高いが、律速過程の決定にはさらに詳細な実験が必要であると思われる。律速過程の追及は吸着剤の性能向上をはかる上で重要であるので、今後この点を明確にしていこうと考えている。

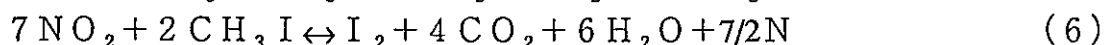
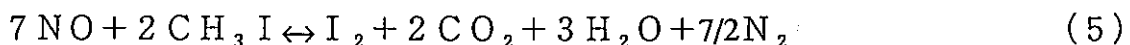
NO_x のヨウ化メチル吸着への影響

図 5-6～図 5-8 には NO_x を 10,000 ppm 模擬ガス中に混入したときのヨウ化メチル吸着への影響を示す。ヨウ化メチルの濃度は 200 ppm とし、キャリアガスには窒素を用いた。吸着剤には硝酸銀、酢酸銀、金属銀を担持した吸着剤を用いた。硝酸銀吸着剤では NO_x の混入によってやや吸着速度が低下した（図 5-6）。金属銀、酢酸銀を担持した吸着剤では逆にヨウ化メチルの吸着容量が増加した（図 5-7、図 5-8）。

NO_x の混入によって金属銀添着剤のヨウ化メチルの吸着量が増加したのは、(i) NO_x に含まれる NO₂ と金属銀が反応して

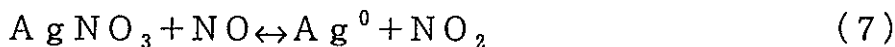


硝酸銀が生成され、それとヨウ化メチルが反応したか、あるいは(ii) Ag X の研究において提案されたヨウ化メチルと NO_x の反応



によって無機ヨウ素 I₂ が生成され、それが Ag⁰ と反応したためと考えられる。

しかしながら、後者のメカニズムでは、NO_x が存在するときの硝酸銀吸着剤における吸着速度の低下を説明することができない。むしろこの現象は、NO_x に含まれる N O による硝酸銀の還元反応（式(4)の逆反応）



によって硝酸銀の一部が金属銀に還元されたために吸着速度が低下したと考えれば、図 5-6、図 5-8 の結果は合理的に説明される。

以上の結果からヨウ化メチル（有機ヨウ素）の吸着に用いる銀塩には硝酸銀が敵しているが、NO による硝酸銀の還元反応（反応(7)）は有機ヨウ素の吸着速度を低下させる

重要な要因であると考えられる。

そうしたNOの効果をより明確にするために、1. 9 vol%のNOを模擬ガス中（窒素をバランスガスとした）に混入して硝酸銀添着剤によるヨウ化メチルの破過特性を調べた。（窒素雰囲気にNOを混入すれば、NOの酸化反応によるNO₂の生成は起こらず、全量NOとしてオフガス中に存在する。）図5-9に実験結果を示す。NOが存在すると吸着性能が著しく低下した。銀の利用率もNOの混入していない場合80%であったものが、1. 9 vol%のNOの混入によって35%まで低下した。

また破過後の吸着剤のXRD分析の結果を図5-10に示す。回析像は金属銀とヨウ化銀の存在を示唆しており、残存しているはずの硝酸銀はほとんど検出されなかた。このことからNOによる硝酸銀の還元反応(7)が有機ヨウ素の吸着を妨害する大きな要因の一つであることが明らかになった。

水蒸気の有機ヨウ素吸着への影響

図5-11には水蒸気のヨウ化メチル吸着への影響を示す。模擬オフガスには、ヨウ化メチル200 ppmを含む窒素中に水蒸気、NO_xをそれぞれ10,000 ppm混入したもの用いた。図には水蒸気を含まない場合と比較したが、この条件では水蒸気の影響はほとんど見られなかった。この程度の水蒸気濃度では疎水性吸着剤への水蒸気の凝縮による吸着性能の低下はほとんど起こらないものと考えられる。しかしながら、この程度の実験では、水蒸気とヨウ化メチルの間の相互作用などを検討することができないので、結論は早計である。今後さらに吸着過程への水蒸気の影響を検討していく必要があろう。

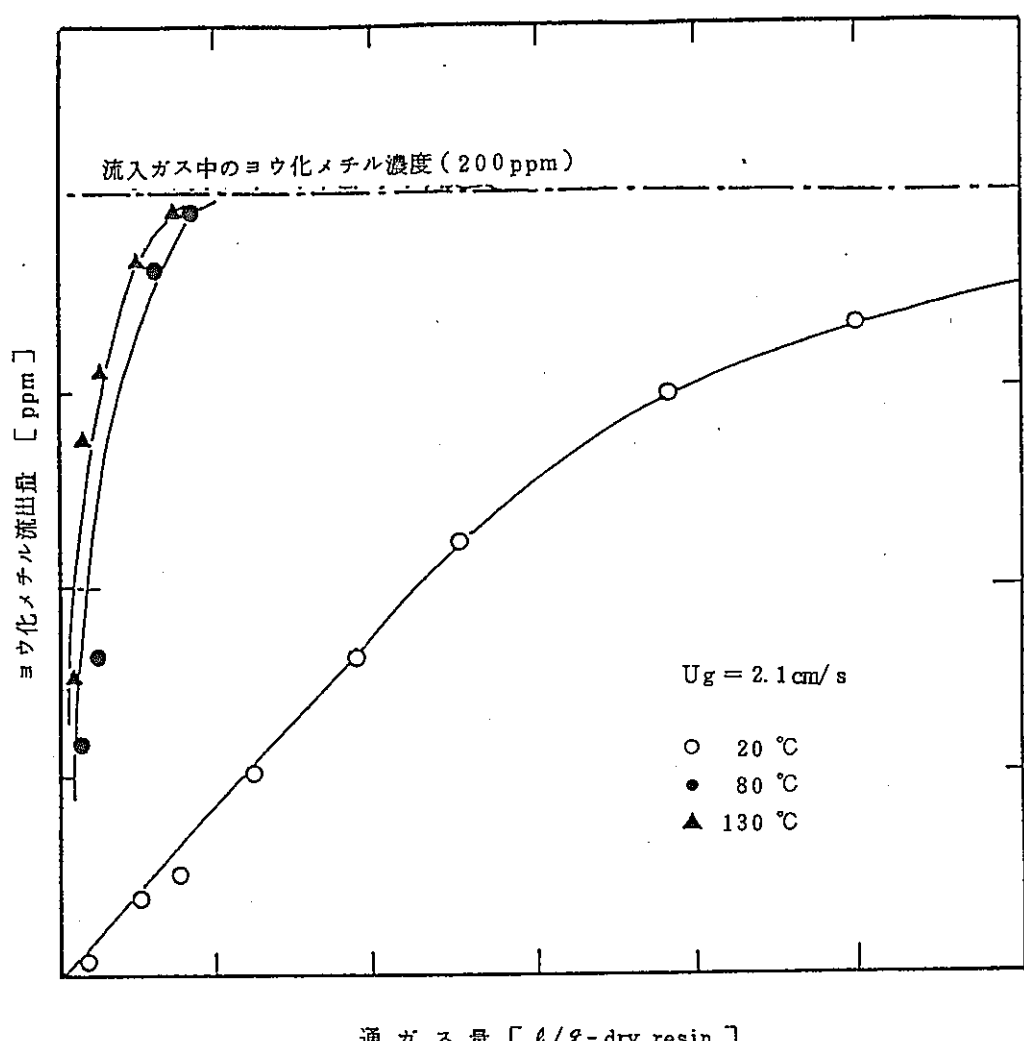


図5-1 SDB担体へのヨウ化メチルの物理吸着

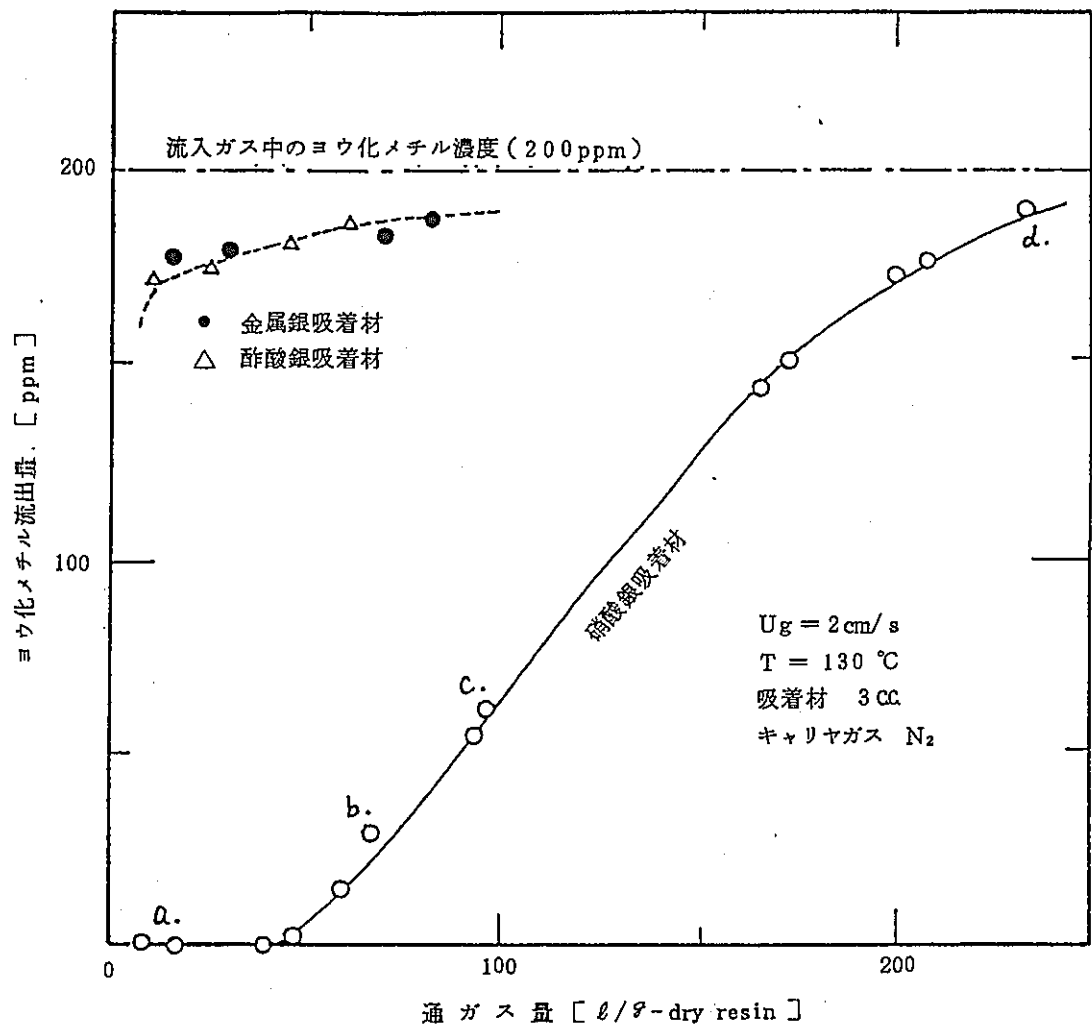


図 5-2 硝酸銀、酢酸銀、金属銀を担持した吸着材のヨウ化メチル破過特性

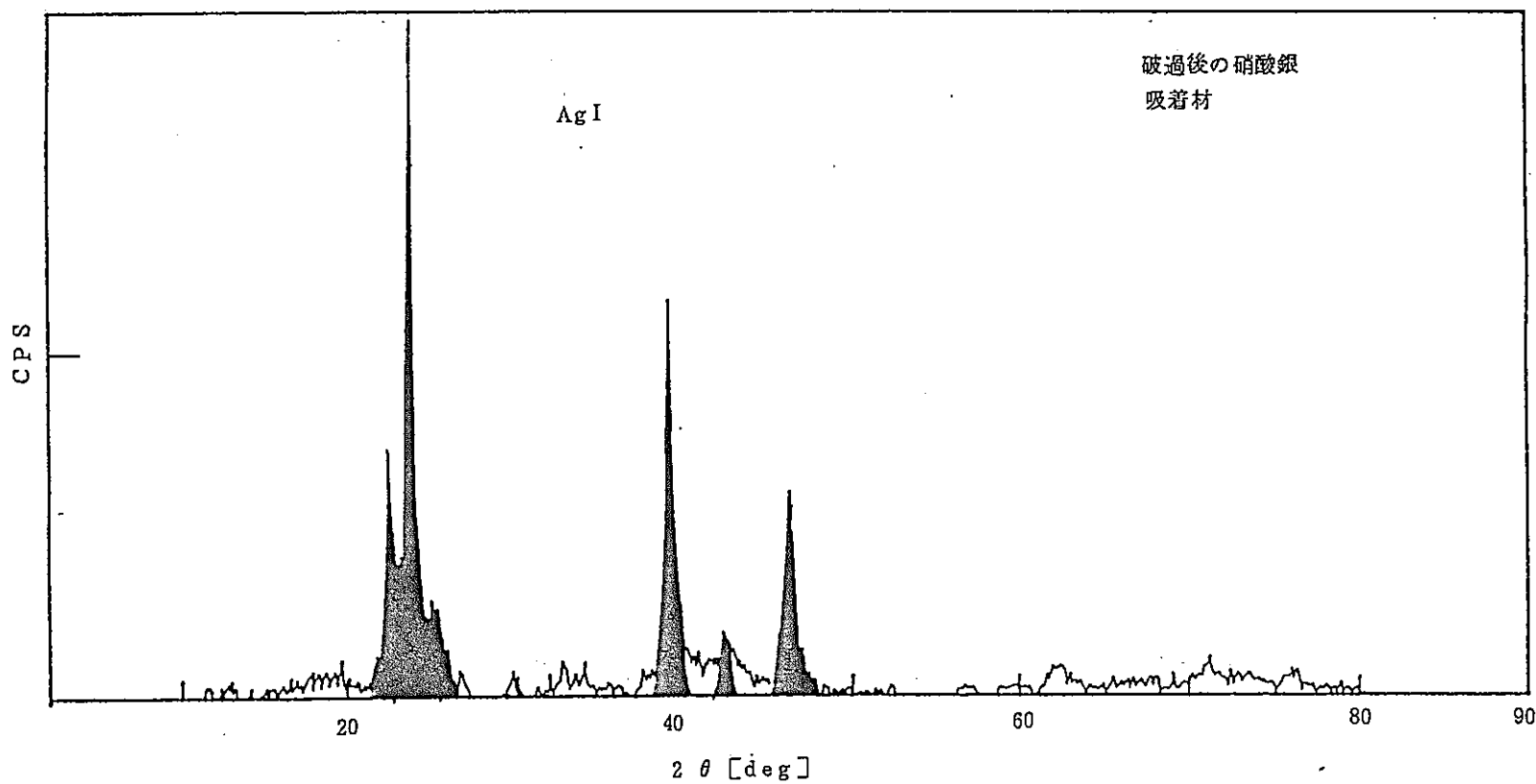


図 5-3 破過後の硝酸銀吸着材の X R D 分析

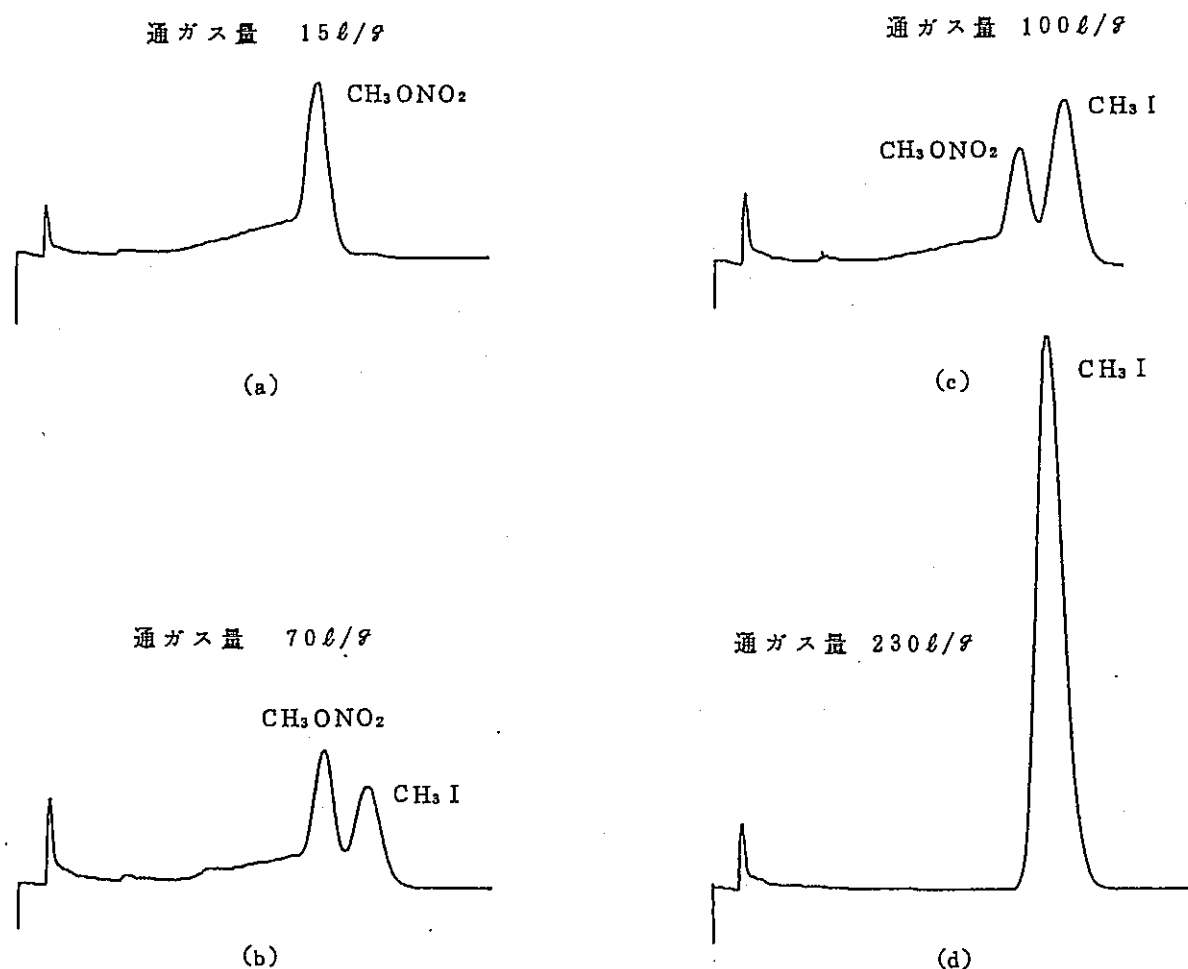


図 5-4 ガスクロ分析結果(硝酸銀吸着材)

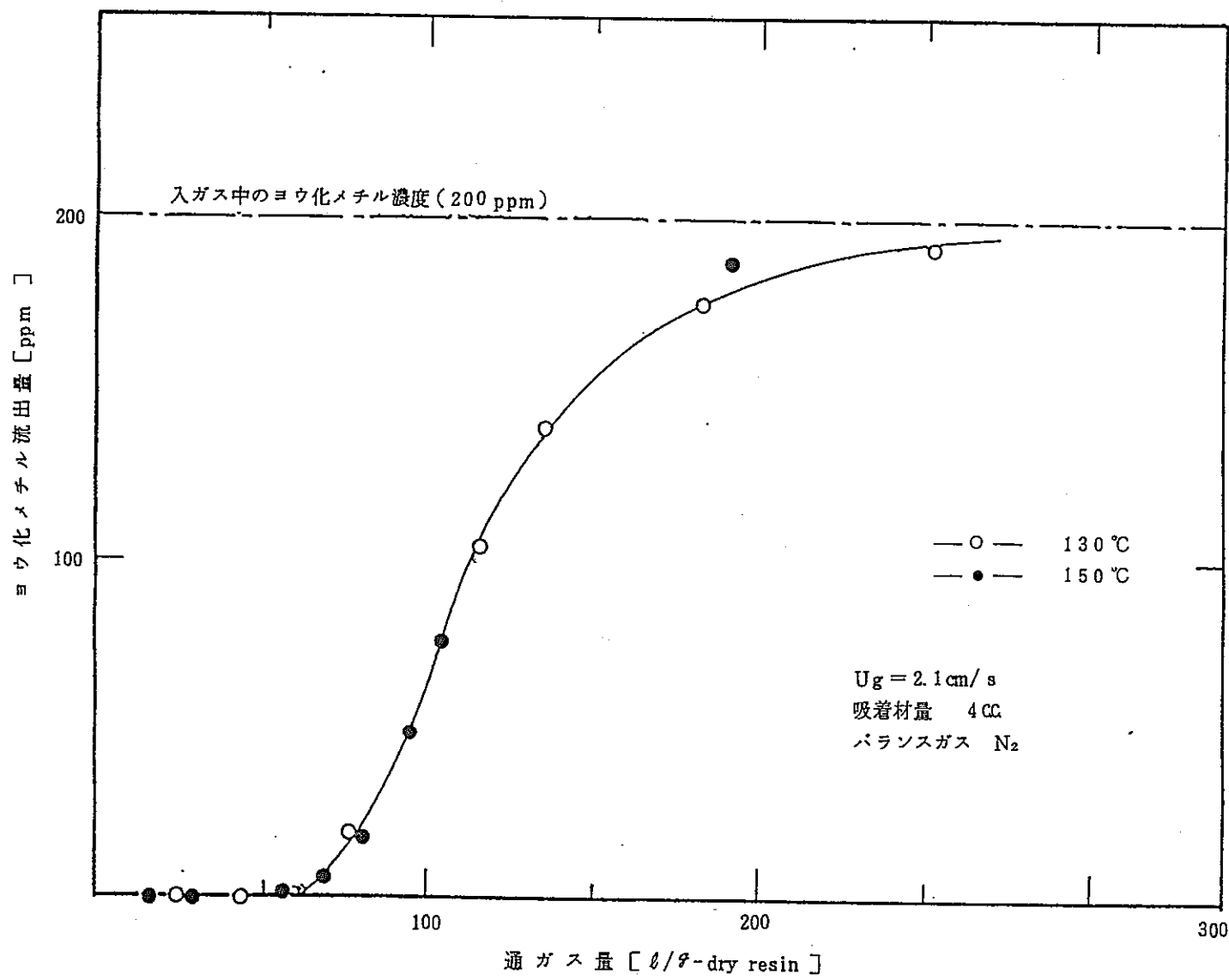


図 5-5 硝酸銀吸着材のヨウ化メチル破過特性吸着温度の影響

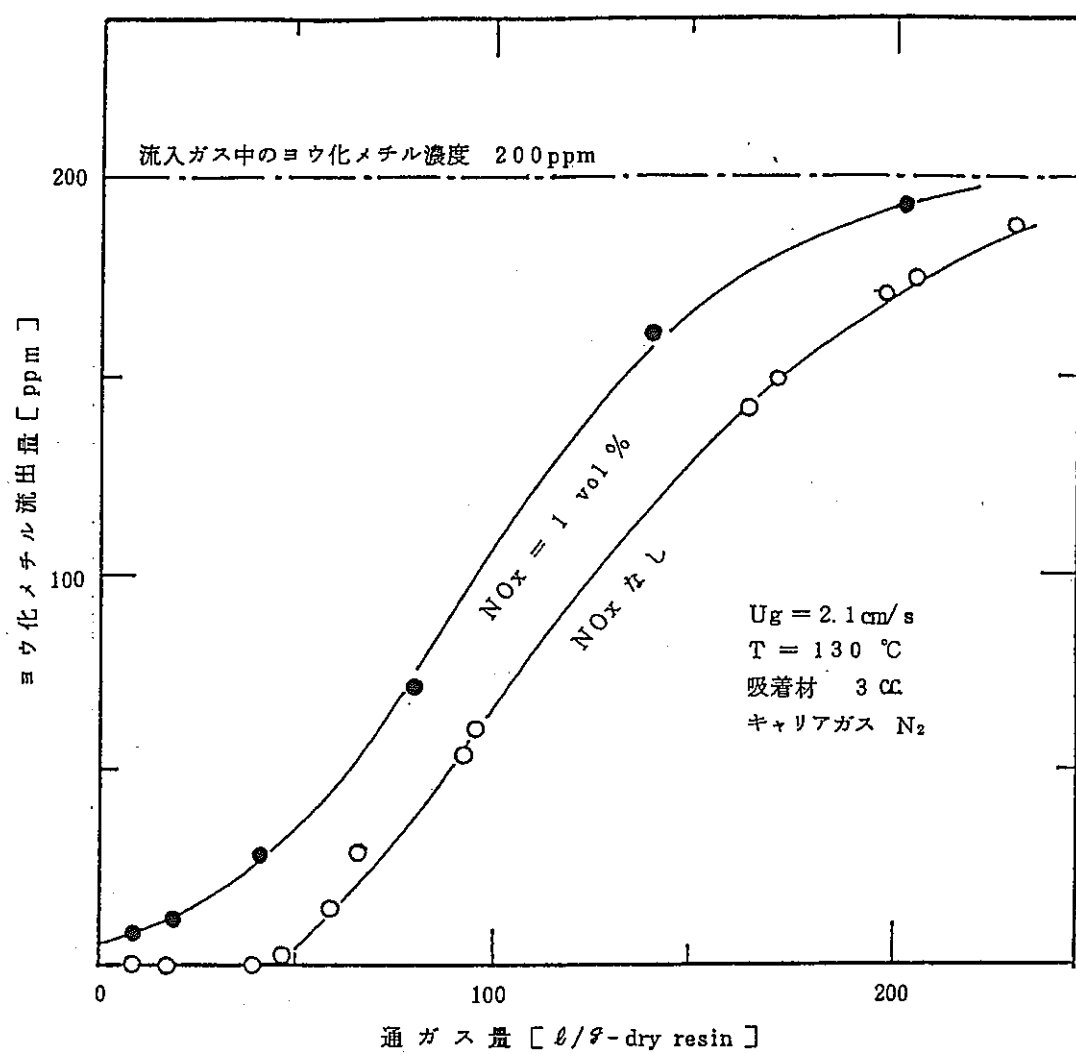


図 5-6 硝酸銀吸着材のヨウ化メチル破過特性窒素酸化物の影響

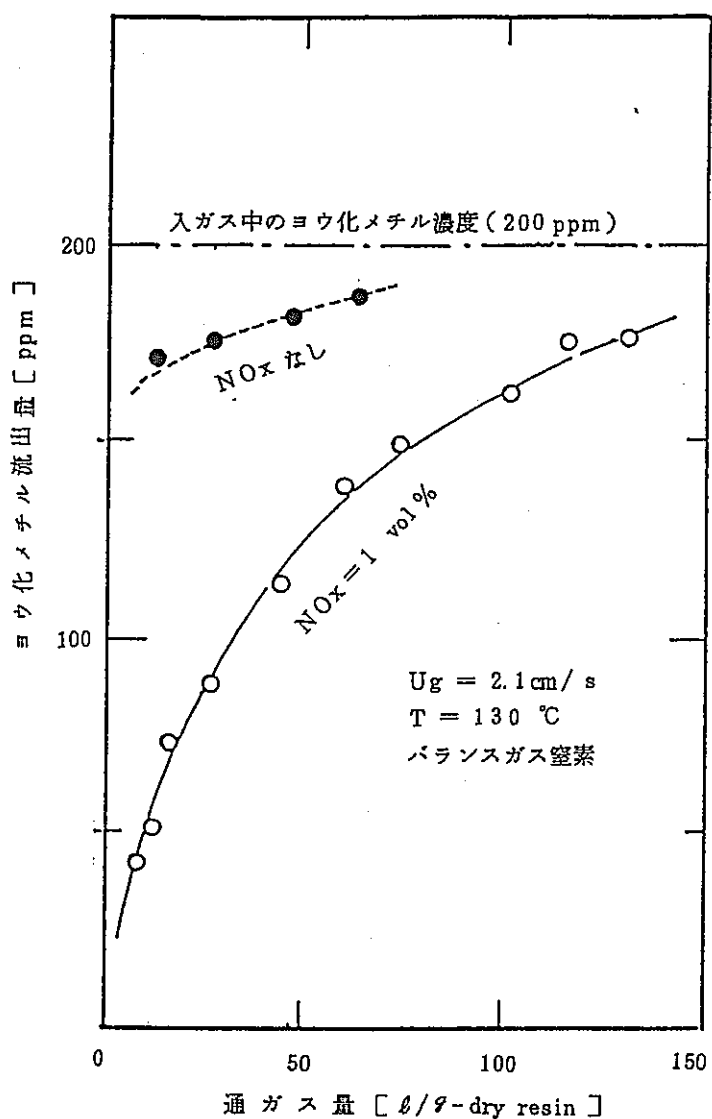


図 5-7 酢酸銀吸着材のヨウ化メチル破過特性。
窒素酸化物の影響。

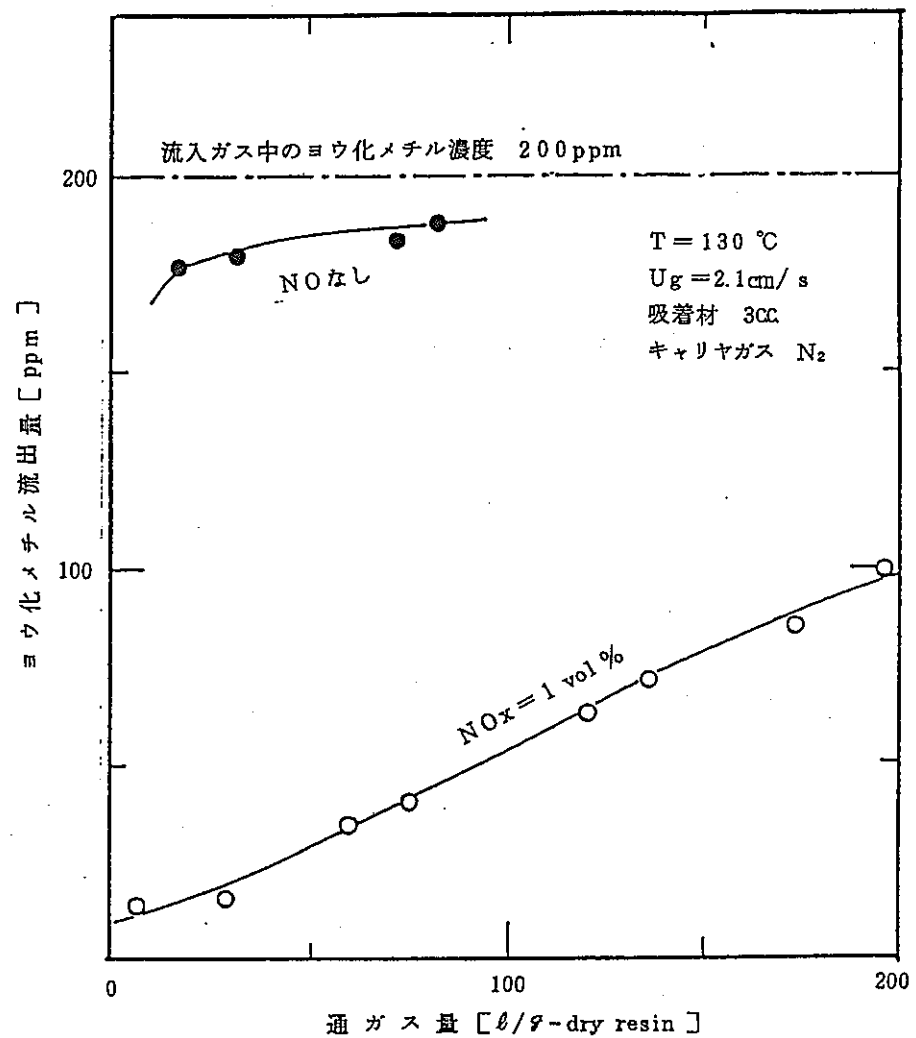


図 5-8 金属銀吸着材のヨウ化メチル破過特性、
窒素酸化物の影響。

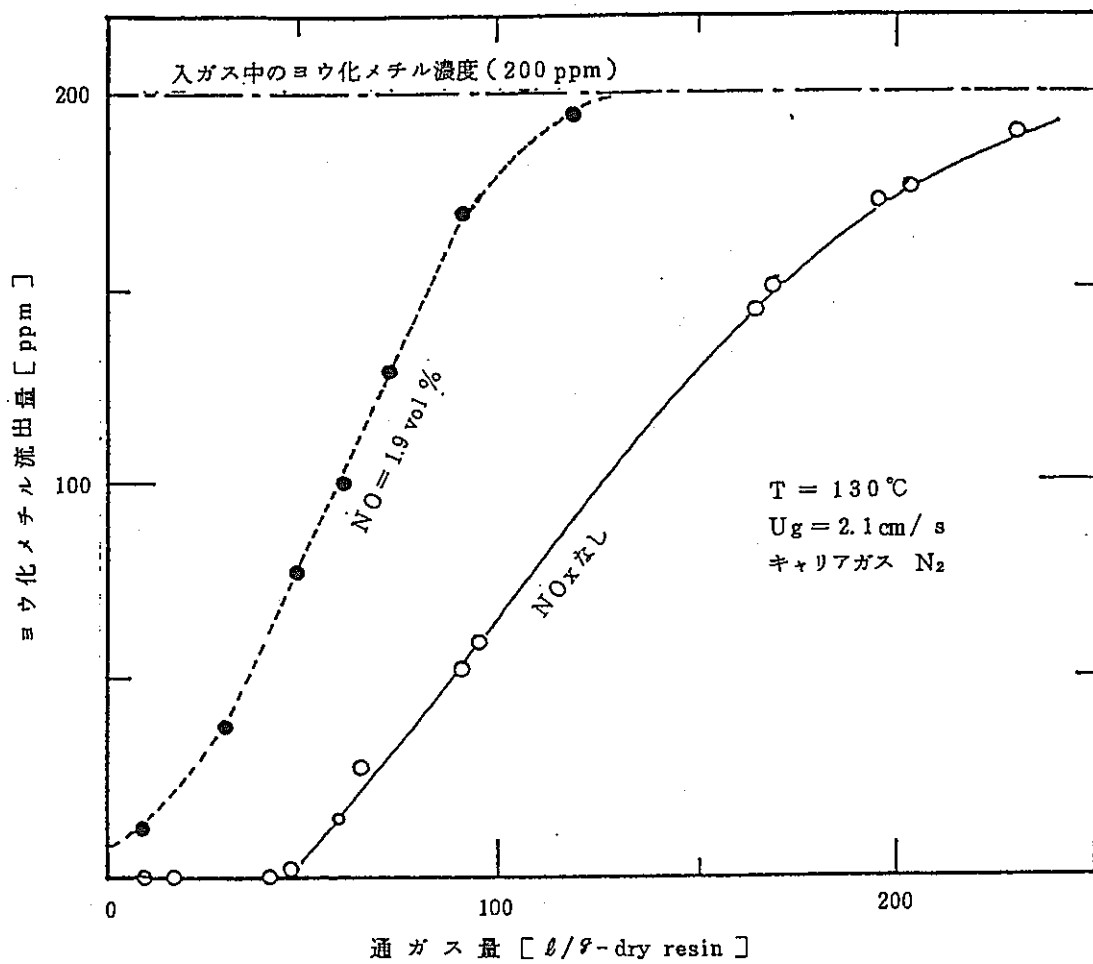


図 5-9 硝酸銀吸着材のヨウ化メチル破過特性 NO の影響

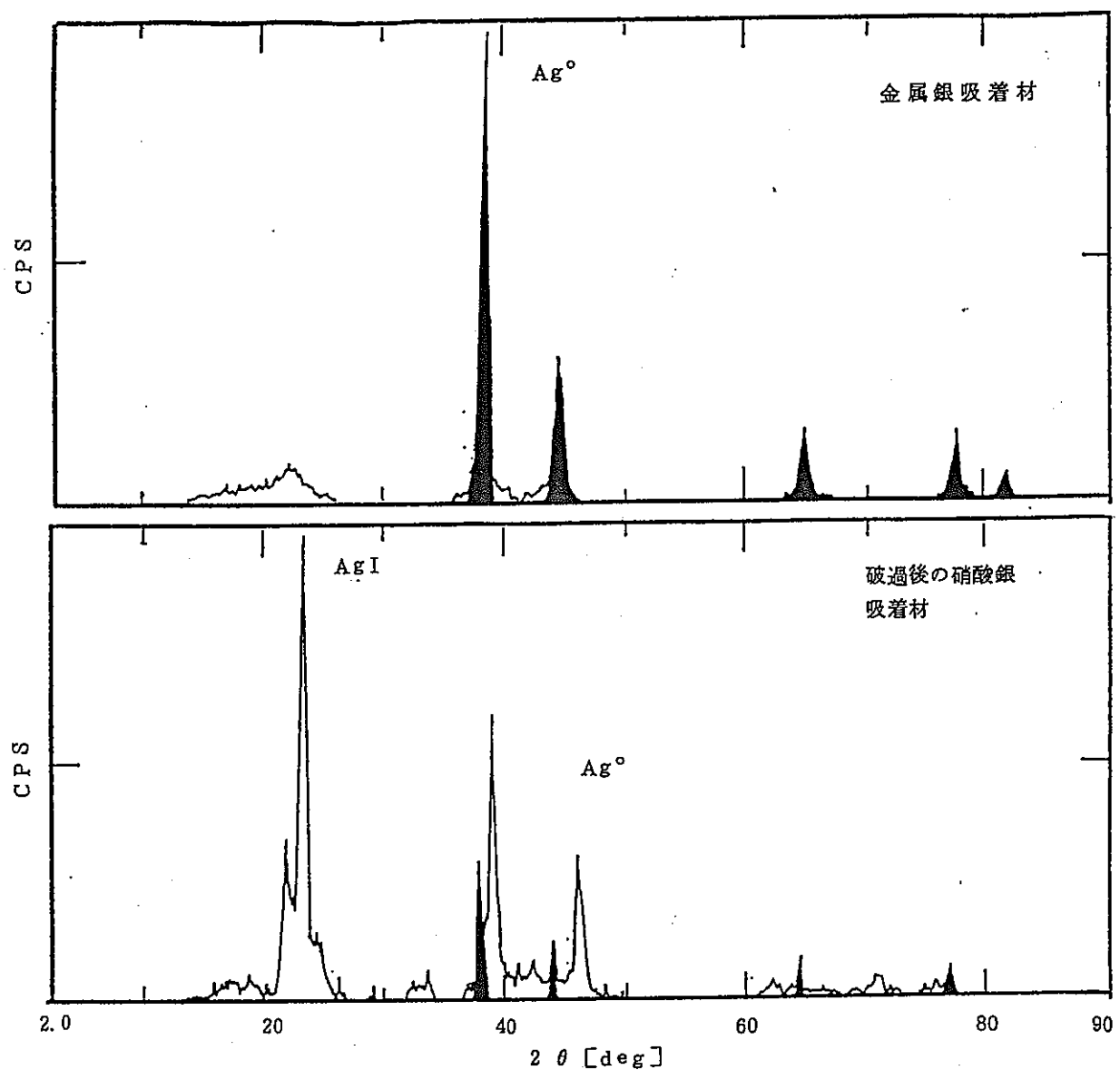


図5-1 O X R D 分析

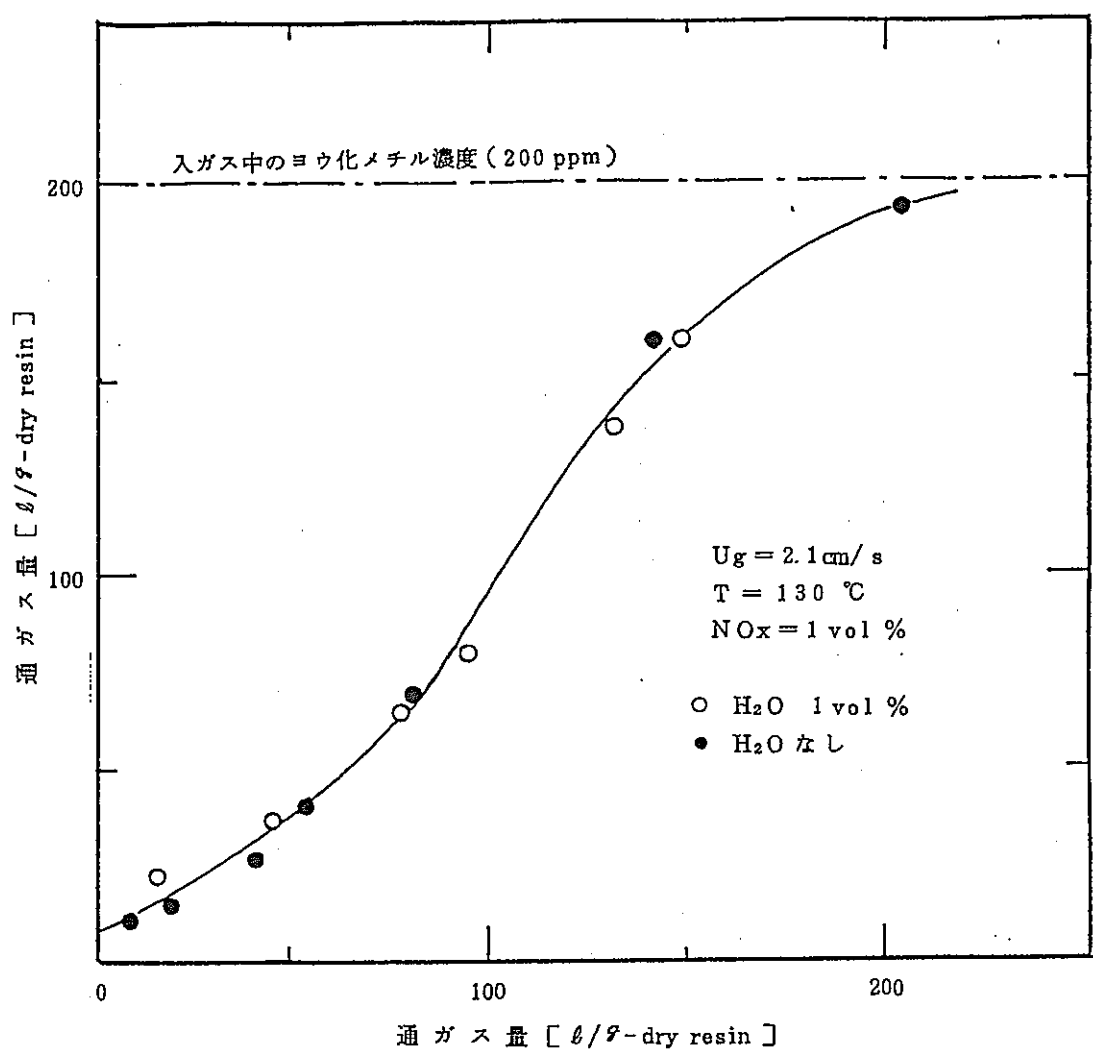


図 5-1-1 硝酸銀吸着材によるヨウ化メチルの破過特性。
水蒸気の影響。

6. まとめ

銀添疎水性吸着剤のヨウ素および有機ヨウ素（ヨウ化メチル）に対する吸着試験結果より、疎水性吸着剤は水蒸気による吸着性能の低下はほとんどなく、長期間にわたってその吸着性能の維持が期待できることが明らかにされている。

一方、ヨウ素および有機ヨウ素の吸着特性は添着された銀の化学形態および NO_x の共存によって、変化が生ずることが明らかにされつつある。即ち、ヨウ素の吸着に対しては銀が金属銀であろうと銀塩であろうと NO_x の共存によるヨウ素の吸着特性は影響されないが、有機ヨウ素の吸着に対しては NO_x が共存しないと硝酸銀以外は有機ヨウ素はほとんど吸着されない。ところが、 NO_x が共存する場合は硝酸銀添着の吸着剤は性能が劣化し、金属銀、酢酸銀を担持した吸着剤は逆に有機ヨウ素の吸着性能が出てくることが明らかになってきている。

以上の結果より、疎水性銀添吸着剤を使い分け、吸着後の吸着剤中の銀の化学形態の変化を測定する方法は、核燃料施設等から放出されるヨウ素の化学形態の推定方法の一つとして、今後検討する価値があるものと思われる。